

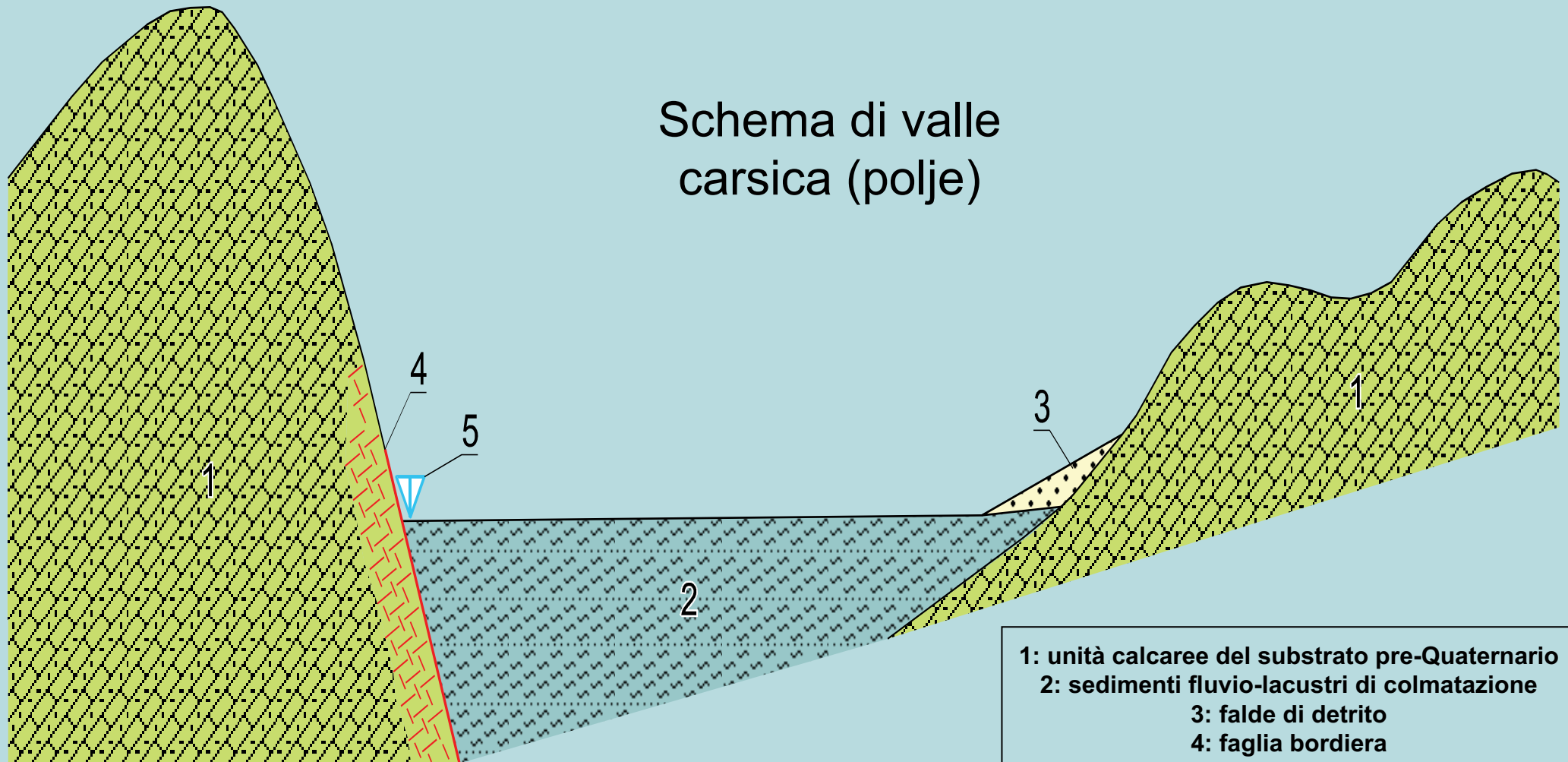
Genesi e significato del riempimento della depressione carsica di Piano Locce sul Gran Sasso d'Italia (Abruzzo)

The filling of karstic depression of Piano Locce (Gran Sasso range, Abruzzi, Italy):
genesis and significance

Donatello Magaldi, Alessandro Lorè, Paolo Lorenzoni, Roberto Sulpizio, Giovanni Zanchetta, Giuseppina Benedetti e Fabiola Ferrante

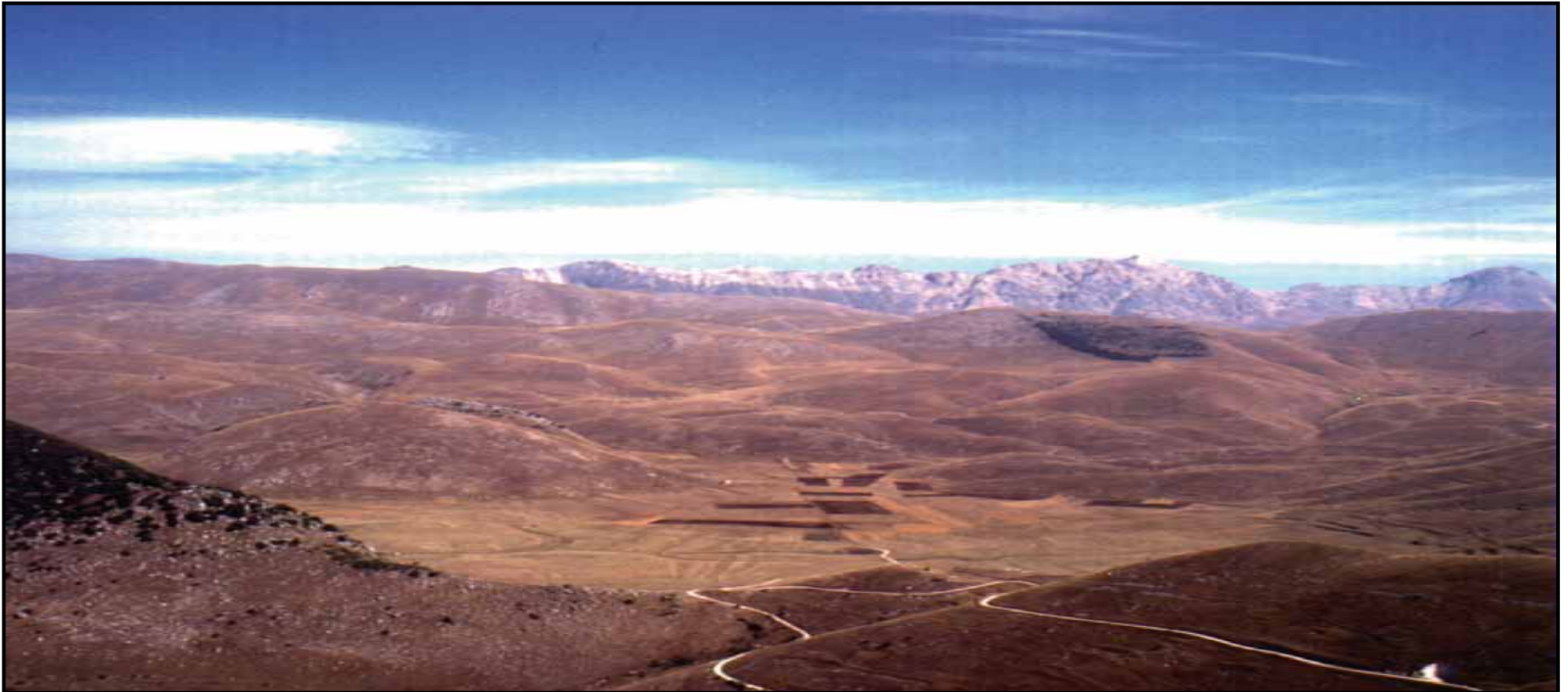
Revisione della Micromorfologia del Suolo a cura di Francesca Tescari, DSSNP, Università di Firenze

Schema di valle carsica (polje)



- 1: unità calcaree del substrato pre-Quaternario**
2: sedimenti fluvio-lacustri di colmatazione
3: falde di detrito
4: faglia bordiera
5: inghiottitoio

Il Piano Locce: vista d'insieme





Piano carsico:
valle Force



**Piano carsico: Viano.
Nello sfondo, la Maiella**



Resti di paleosuoli
nella catena
del Gran Sasso

Stratigrafia semplificata del sondaggio eseguito a Piano Locce (1225 m s.l.m.)

Stratigrafia semplificata del sondaggio eseguito a Piano Lucchiano (1202 m s.l.m.)

Metri da p.c.	Litologia	Tessitura (USDA)	Colore (Munsell)	Sostanza organica (%)	DESCRIZIONE	Litologia	Tessitura (USDA)	Colore (Munsell)	Sostanza organica (%)	DESCRIZIONE
-2 m					Suolo attuale variamente rimaneggiato.					Rilevato stradale
-4 m					Ghiaia in matrice limoso-sabbiosa; clasti eterometrici (diametro 2 - 4 cm), variamente smussati e prevalentemente appiattiti.					Suolo e riparo
-6 m					Sabbie lacustri con minerali vulcanici.					Sedimenti di suolo con rari clasti calcarei e minerali vulcanici; rivestimenti da idrossidi di ferro e manganese.
-8 m					Sedimenti fini lacustri con minerali vulcanici e rari clasti; livelli millimetrici di sabbia grossolana.					Sedimenti di suolo con rari clasti calcarei, minerali vulcanici, ossidi di ferro/manganese.
-10 m					Sedimenti fini lacustri con minerali vulcanici e rari clasti; livelli millimetrici di sabbia grossolana.					Sedimenti di suolo ricchi in sostanza organica, con livelli di ghiaie in matrice argillosa.
-12 m					Sabbie grossolane con piccoli clasti, pomici, minerali vulcanici e vivianite.					Sedimenti di suolo con rari clasti calcarei e minerali vulcanici.
-14 m					Ceneri vulcaniche.					Sedimento nerastro ricco di sostanza organica di ambiente presumibilmente palustre.
-16 m					Sedimenti di suolo con rari clasti calcarei corrosi e patine di ossidi di ferro/manganese.					Sedimenti di suolo con clasti calcarei corrosi e patine di ossidi di ferro.
-18 m					Sedimenti grossolani con frequente scheletro calcareo di ciottoli e concrezioni di apporto colluviale.					Sabbie grossolane con piccoli clasti, pomici, minerali vulcanici.
-20 m					Ceneri vulcaniche.					Sabbie brune con grumi argillosi, noduli di carbonati e minerali vulcanici.
-22 m					Sedimenti di suolo con clasti calcarei corrosi e patine di ossidi di ferro/manganese.					Sabbie vulcaniche con pomici millimetriche e patine di ferro/manganese.
-24 m					Sedimenti di suolo con clasti calcarei.					Sedimenti lacustri ricchi in minerali vulcanici.
-26 m					Sedimenti di suolo con clasti calcarei e minerali vulcanici grossolani.					Sedimenti di suolo con clasti calcarei corrosi e patine di ossidi di ferro/manganese.
-28 m					Sedimenti di suolo con clasti calcarei.					Sedimenti lacustri ricchi in minerali vulcanici, con grumi di ossidi di ferro.
-30 m					Sedimenti lacustri.					Sedimenti lacustri ricchi in minerali vulcanici.
-32 m					Ceneri vulcaniche.					Sedimenti lacustri.
-34 m					Sedimenti lacustri ricchi in sostanza organica. A -23.70 m livello ricco in piccoli ciottoli calcarei.					Sedimenti fini lacustri.
-36 m					Sedimenti lacustri.					Sedimenti palustri.
-38 m					Sedimenti lacustri.					Ghiaia con sabbia, clasti poco smussati ma sferoidali con diametro compreso tra 2 e 4 cm.
-40 m					Sedimenti lacustri.					Sabbie vulcaniche con ciottoli calcarei smussati ma poco sferici.
-42 m					Sedimenti di suolo con clasti calcarei corrosi e patine di ossidi di ferro.					Sedimenti di suolo con clasti calcarei corrosi e screziature verdastre.
-44 m					Sedimenti lacustri; abbondante vivianite.					Sedimenti di suolo con materiali palustri e vulcanici, clasti calcarei corrosi e patine di ossidi di ferro/manganese; ciottoli tra il 2% ed il 15%.
-46 m					Sedimenti lacustri di ambiente poco profondo.					Sabbie e sabbie ghiaiose; clasti smussati ma poco sferici.
-48 m					Ceneri vulcaniche con intercalazioni lacustri.					Sedimenti di suolo con clasti calcarei corrosi e patine di ossidi di ferro/manganese; clasti al 20%.
-50 m					Sedimenti lacustri varati.					Ceneri vulcaniche.
-52 m					Sedimenti lacustri fini.					Sedimento nerastro ricco di sostanza organica di ambiente presumibilmente palustre.
-54 m					Sedimenti lacustri fini.					Ceneri vulcaniche.
-56 m					Sedimenti lacustri.					Sedimenti palustri.
-58 m					Sedimenti lacustri con arricchimento secondario di carbonati.					Sedimento sabbioso con ca. il 35% di clasti (diametro 0,2 - 2 cm), noduli e concrezioni di vivianite.
-60 m					Limi giallastri probabilmente originati da alterazione di ceneri vulcaniche.					Sedimenti palustri con rari ciottoli calcarei, noduli e concrezioni di vivianite; sono presenti livelli a diverso contenuto di ciottoli (20% in media, diametro 2 - 5 cm).
-62 m					Ceneri vulcaniche.					Sedimenti di suolo con clasti calcarei corrosi e patine di ossidi di ferro/manganese.
-64 m					Sabbia fine con apporti di minerali vulcanici.					Sedimenti di suolo con patine di ossidi di ferro/manganese; clasti assenti.
-66 m					Sedimenti lacustri.					Sedimenti di suolo con clasti calcarei (ca. 40%, diametro 0,2 - 6 cm) e patine di ossidi di ferro e manganese.
-68 m					Sedimenti lacustri.					Sedimenti di suolo con clasti calcarei corrosi e patine di ossidi di ferro/manganese; diametro clasti 0,2 - 4 cm.
-70 m					Sedimenti lacustri.					
-72 m					Sedimenti lacustri.					
-74 m					Sedimenti lacustri.					
-76 m					Sedimenti lacustri.					
-78 m					Sedimenti lacustri, sabbioso-fini verso il basso.					
-80 m					Sedimenti lacustri, sabbioso-fini verso il basso.					

Stratigrafia di campagna dei 2 sondaggi: sinistra, Locce; destra, Lucchiano
Field Stratigraphy of boreholes: Locce on the right, Lucchiano on the Left

**MINERALI VULCANICI E
SEDIMENTARI**

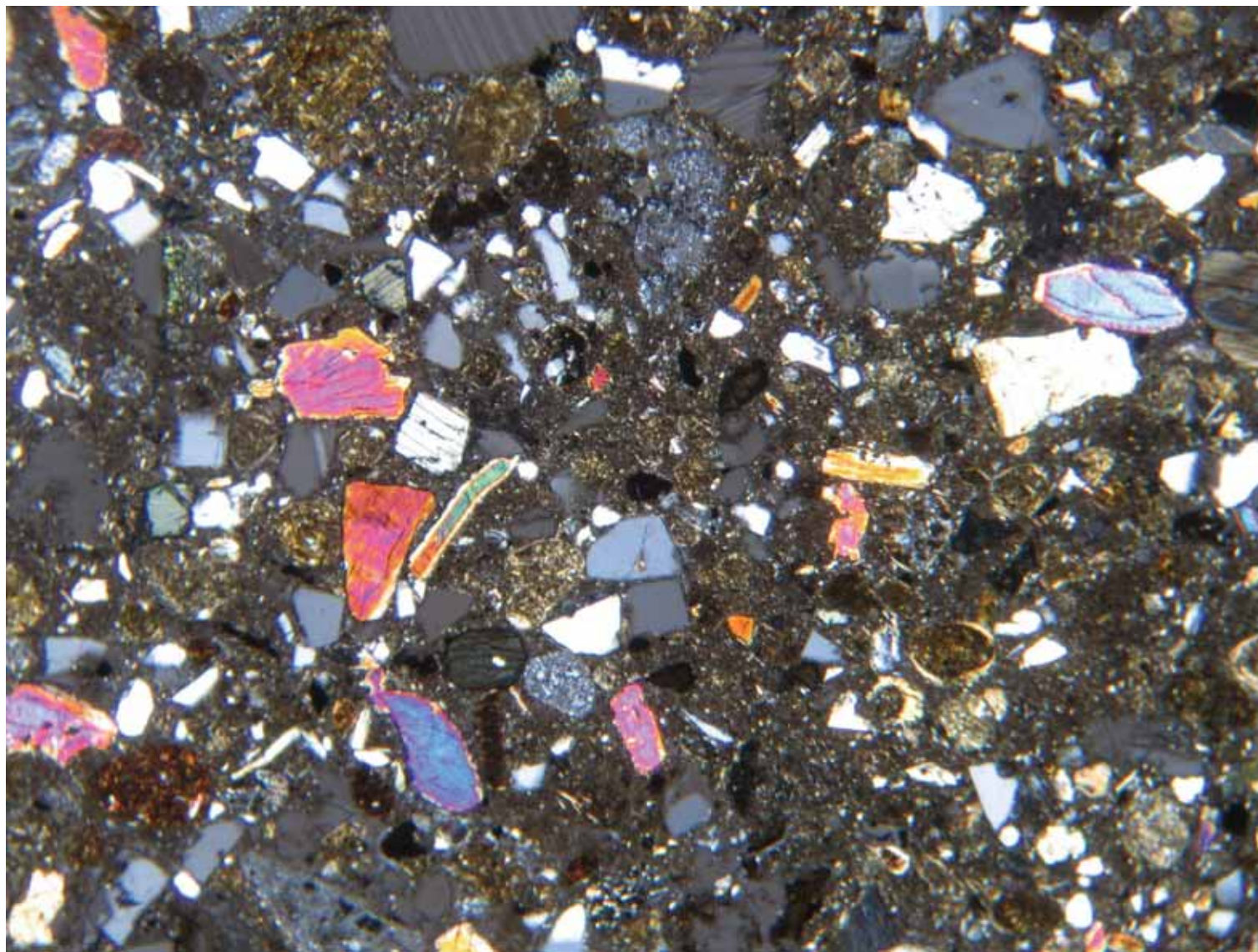
***VOLCANIC AND
SEDIMENTARY MINERALS***

N° PL51

Visione d'insieme

Whole view

800 μ m



**MINERALI VULCANICI E
SEDIMENTARI**

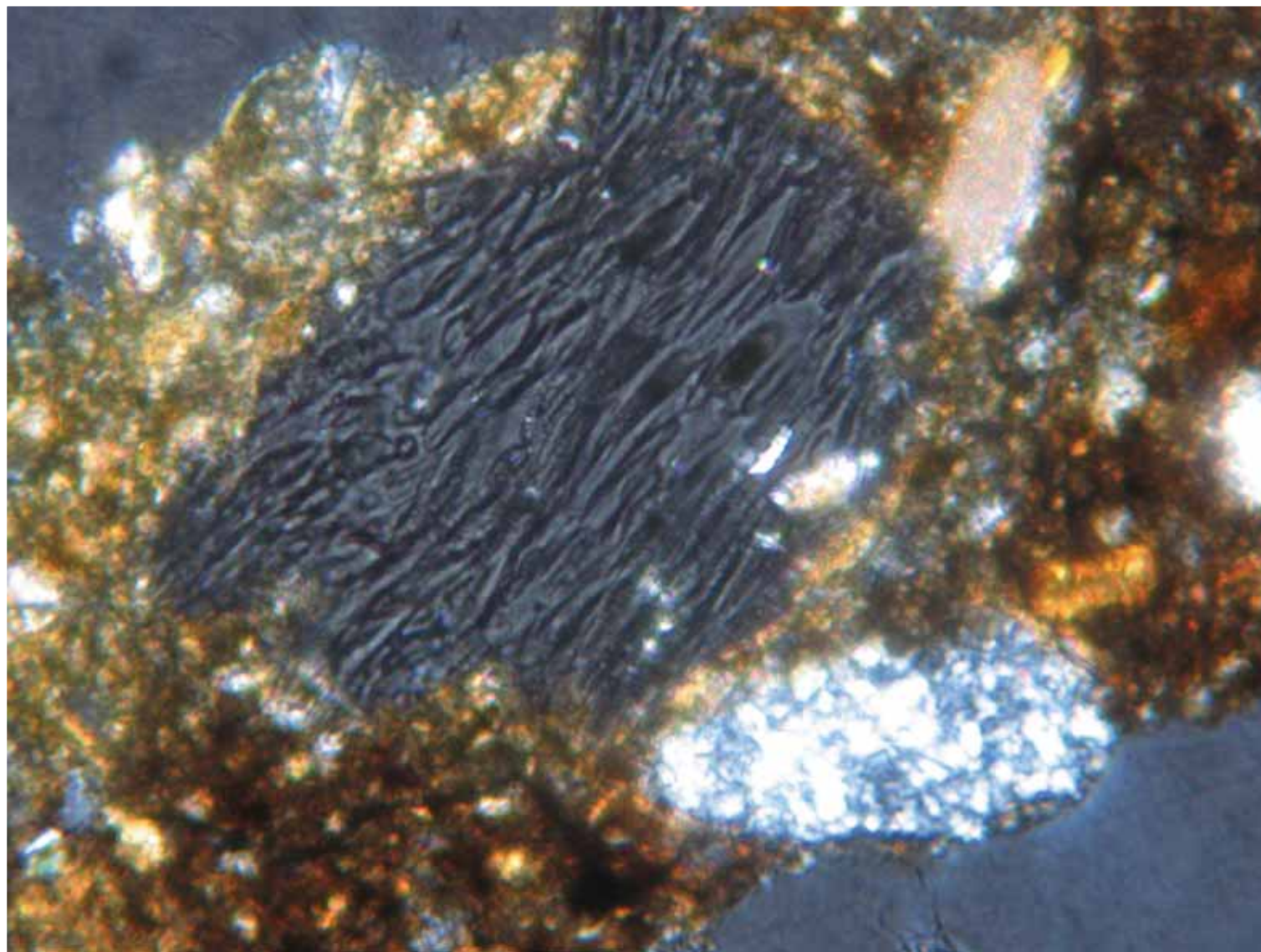
***VOLCANIC AND
SEDIMENTARY MINERALS***

N° PL16

Vetro

Whole view

400 μ m



**MINERALI VULCANICI E
SEDIMENTARI**

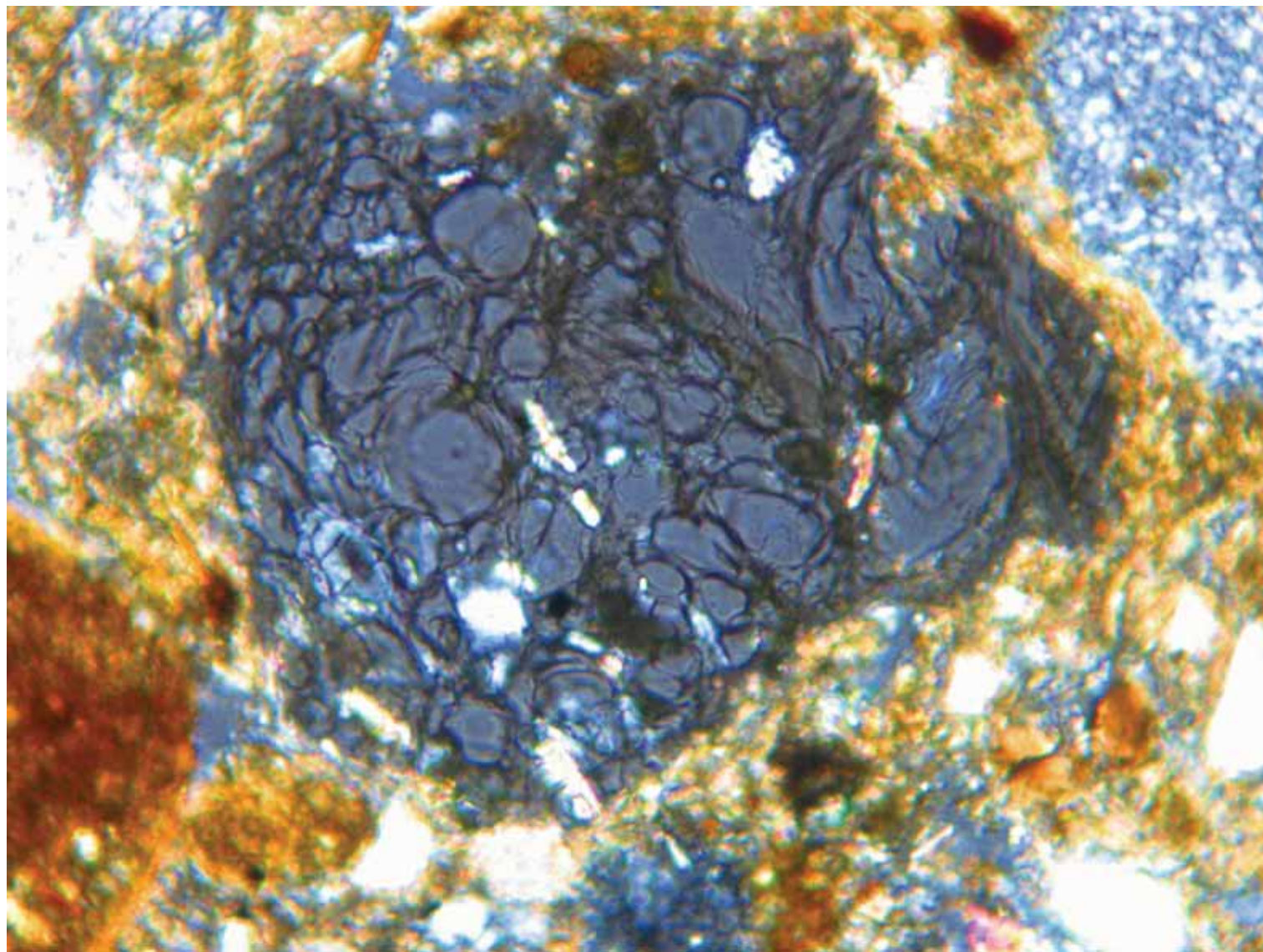
***VOLCANIC AND
SEDIMENTARY MINERALS***

N° PL16

Vetro

Volcanic glass

200µm



**MINERALI VULCANICI E
SEDIMENTARI**

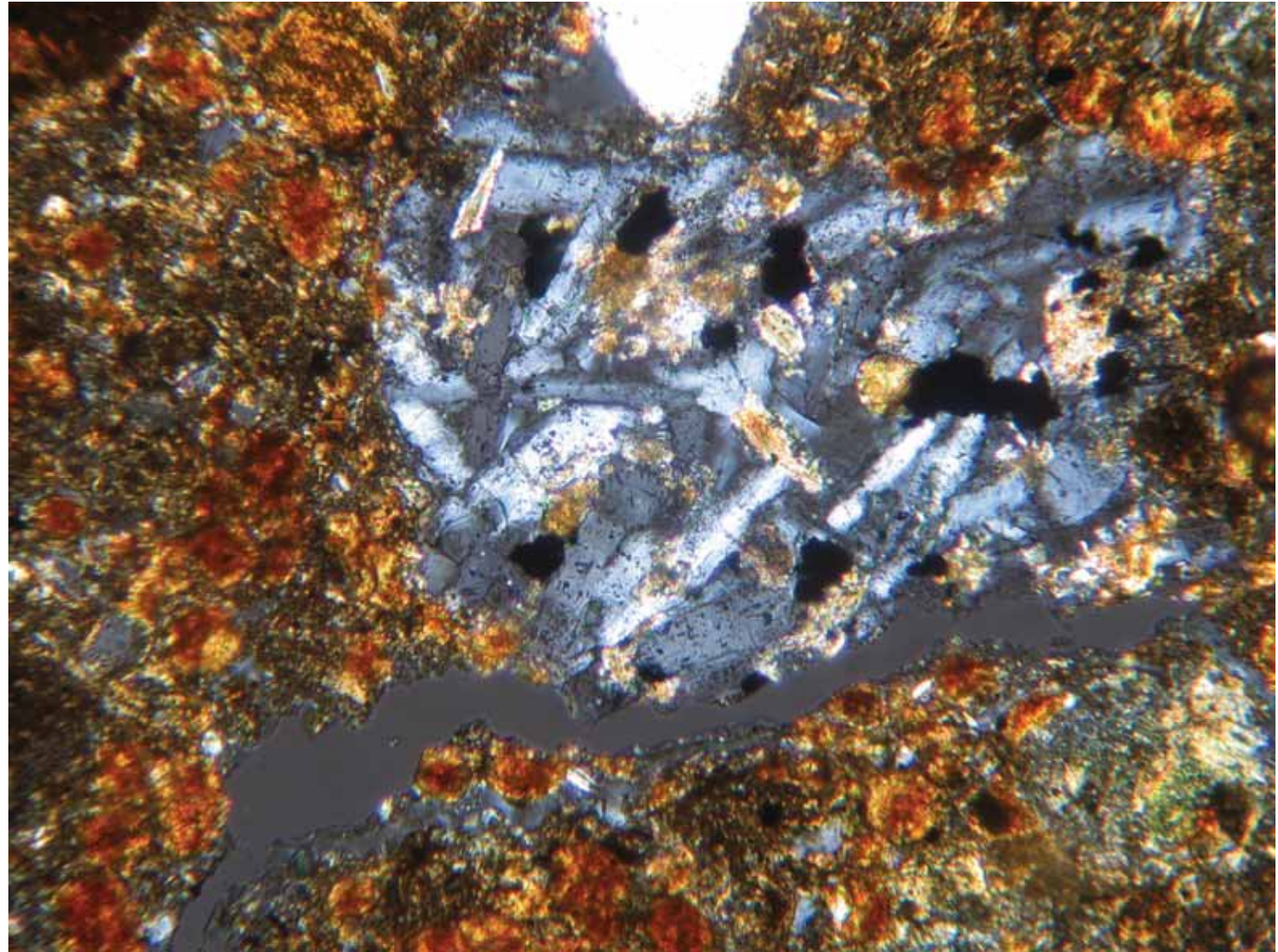
***VOLCANIC AND
SEDIMENTARY MINERALS***

N° PL5

Frammento di lava

Basic lava grain

400 μ m



**MINERALI VULCANICI E
SEDIMENTARI**

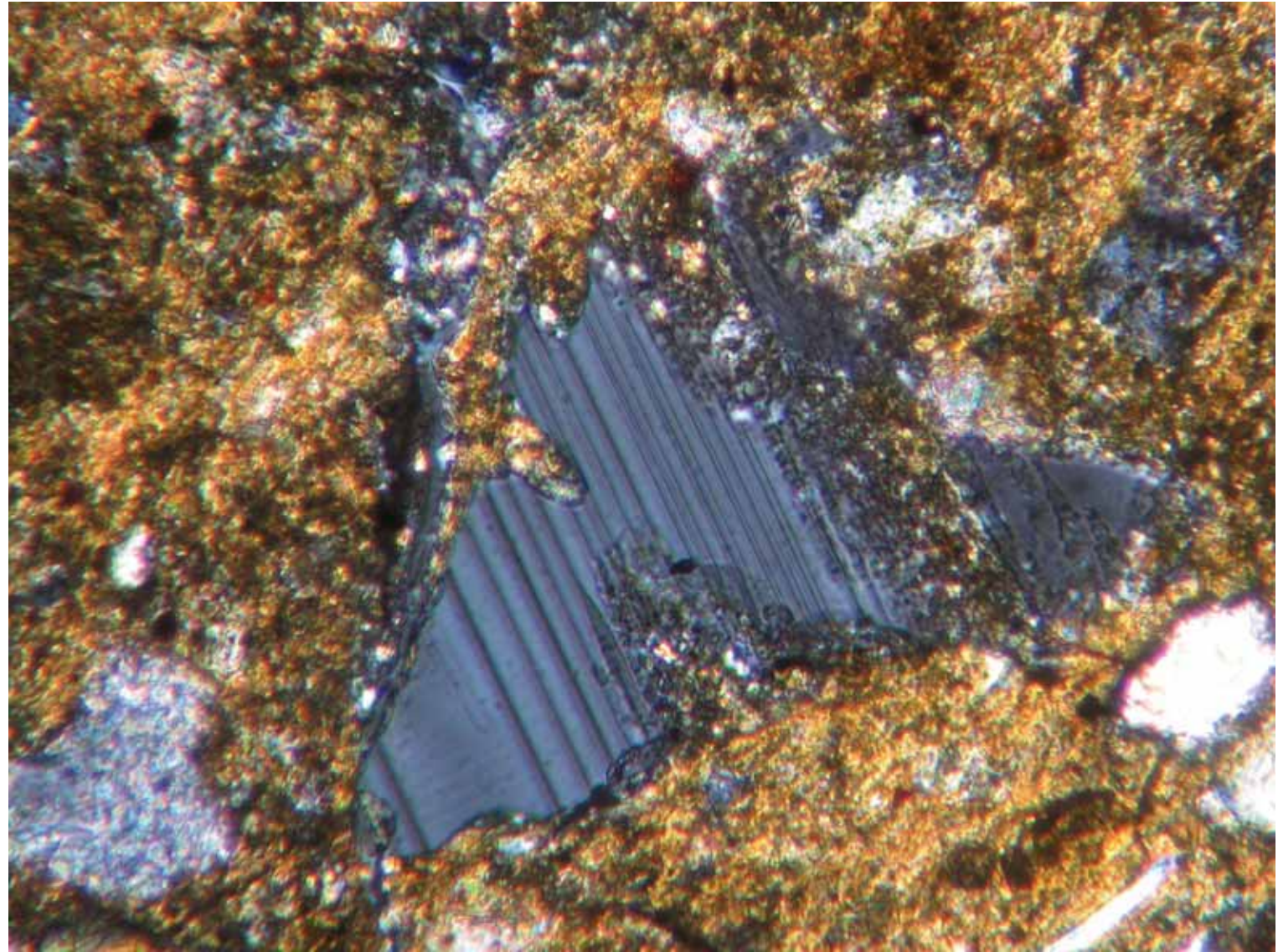
***VOLCANIC AND
SEDIMENTARY MINERALS***

N° PL3

Plagioclasio corroso

*Corroded plagioclase
grain*

200µm



**MINERALI VULCANICI E
SEDIMENTARI**

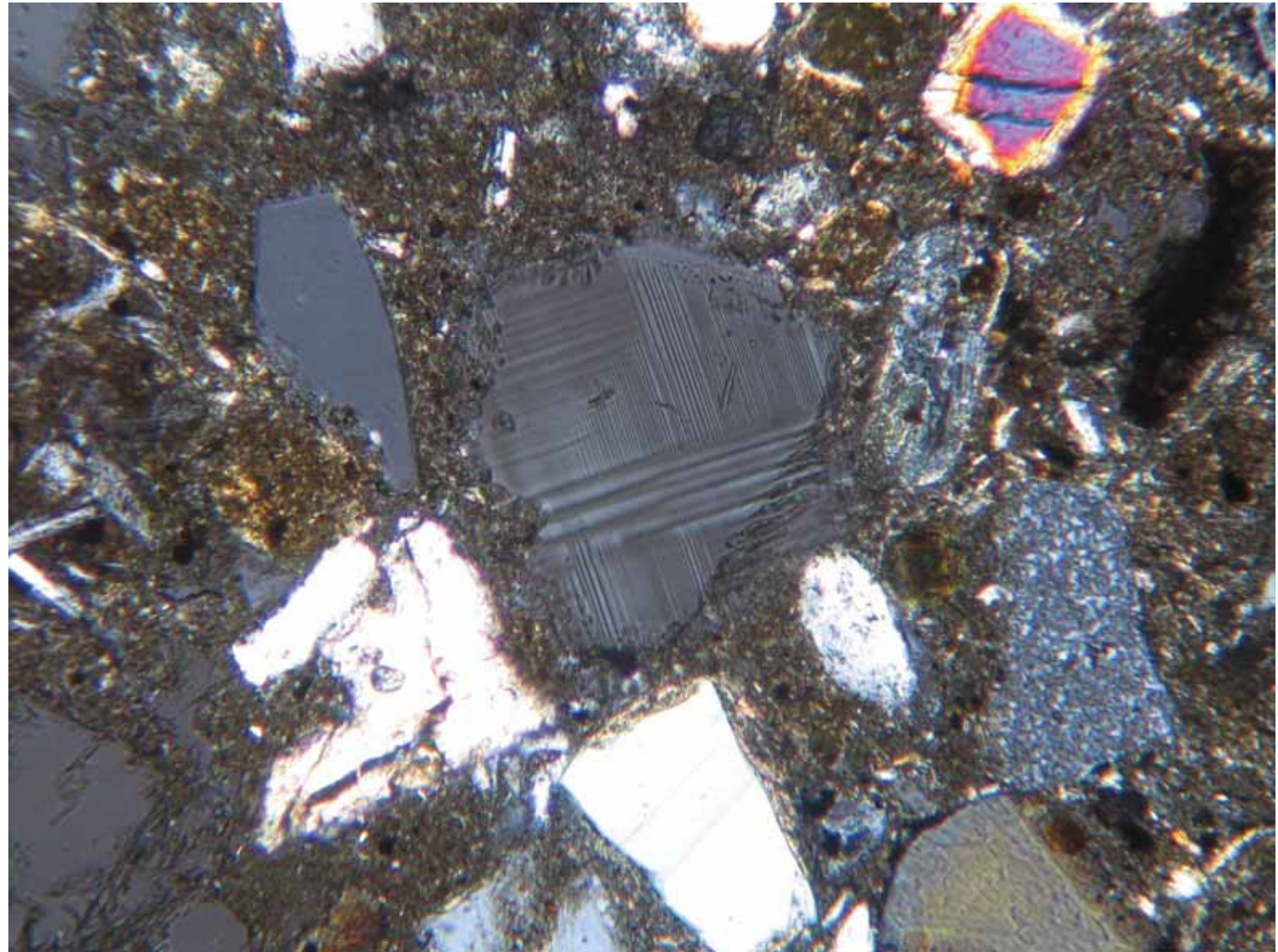
***VOLCANIC AND
SEDIMENTARY MINERALS***

N° PL51

Anortoclasio

Anorthoclase grain

250µm



**MINERALI VULCANICI E
SEDIMENTARI**

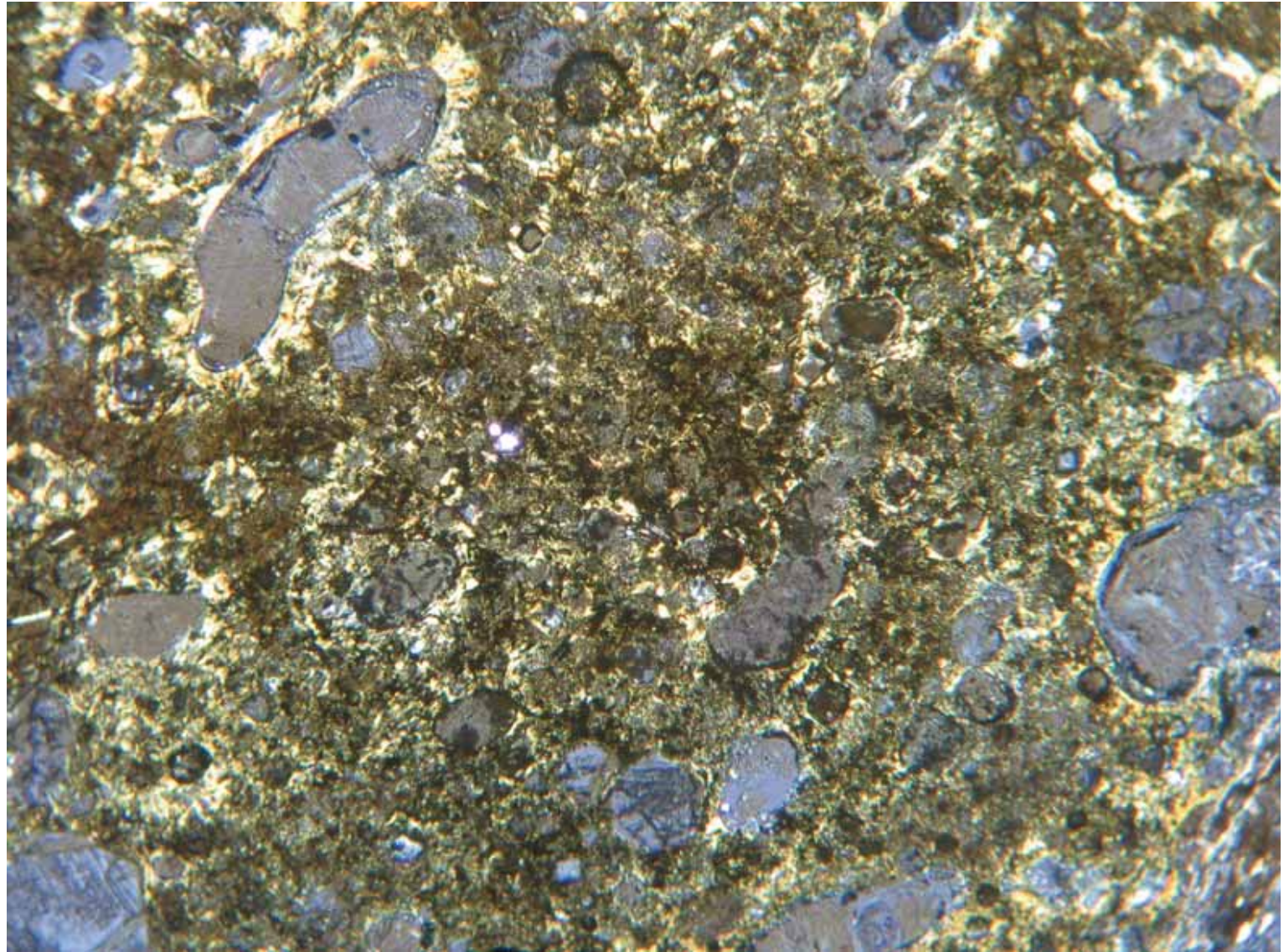
***VOLCANIC AND
SEDIMENTARY MINERALS***

N° PL51

in alto a sinistra:
Palagonite
argillificata (?)

*Left - high : Clay
weathered palagonite?*

200µm



**MINERALI VULCANICI E
SEDIMENTARI**

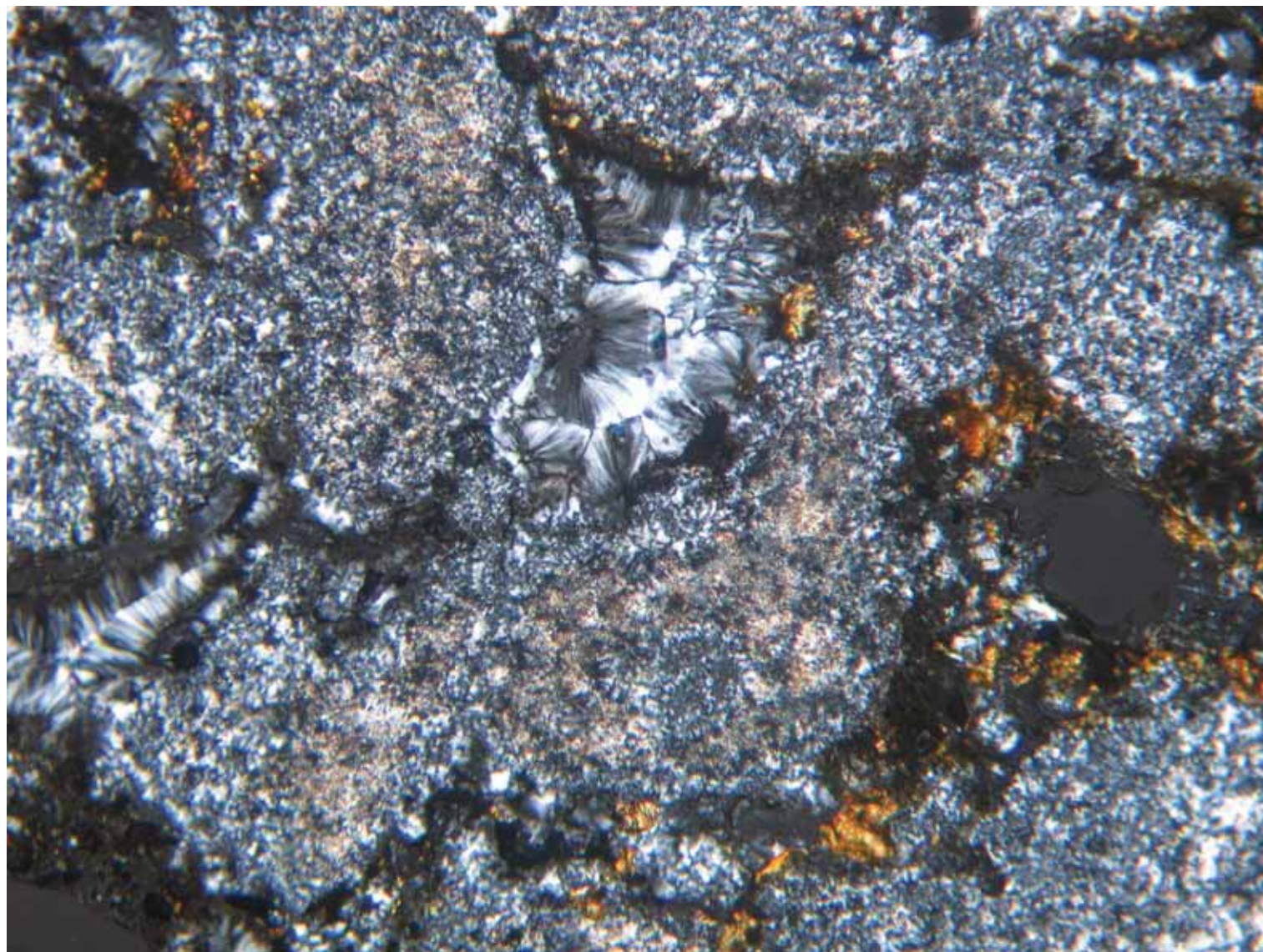
***VOLCANIC AND
SEDIMENTARY MINERALS***

N° PL57

Selci cementate da
calcedonio

*Cherty grains cemented
by chalcedony*

400 μ m



**MINERALI VULCANICI E
SEDIMENTARI**

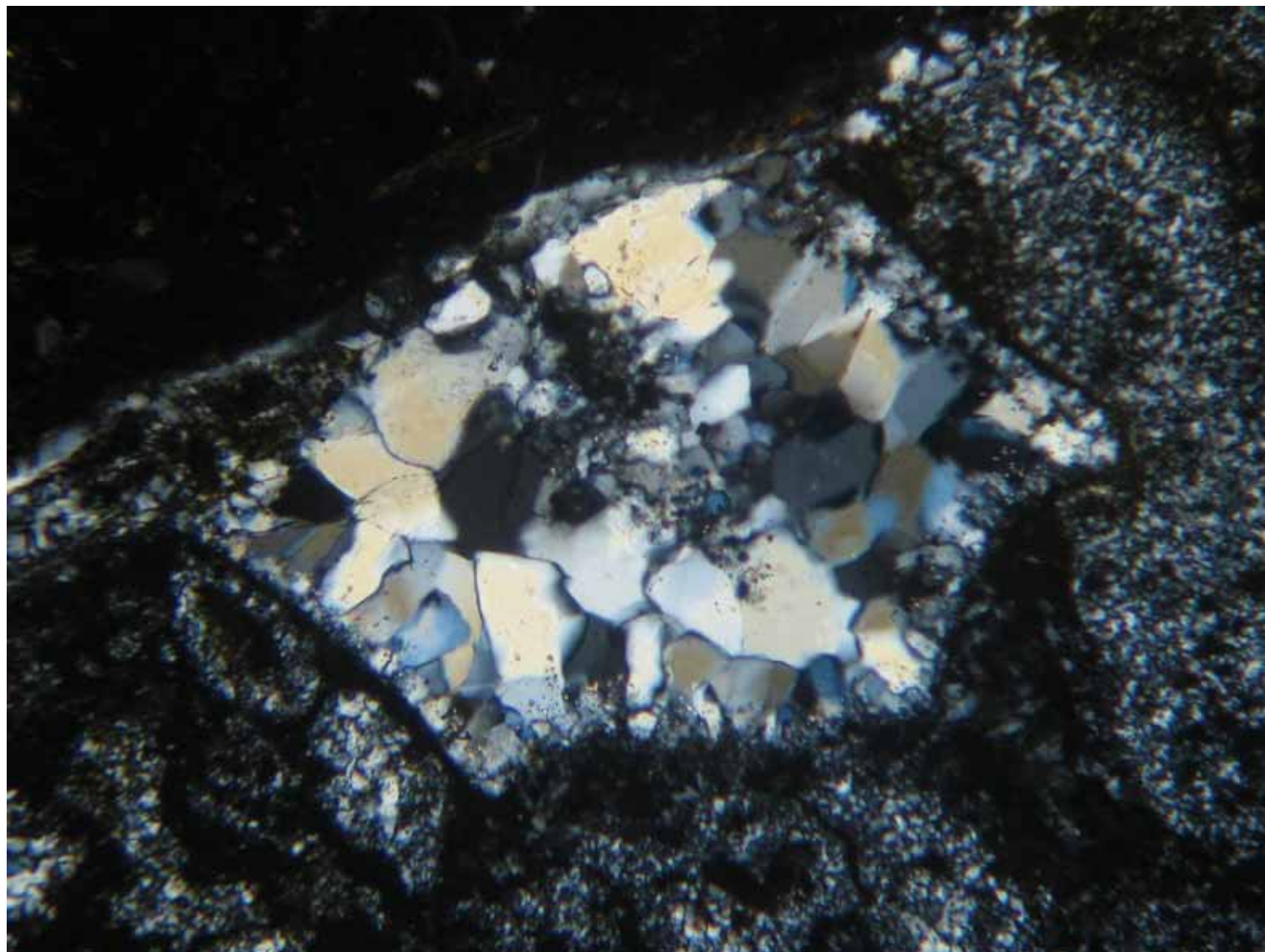
***VOLCANIC AND
SEDIMENTARY MINERALS***

N° PL57

Selce

Cherty grain

400 μ m



**FIGURE PEDOGENETICHE
FORMATESI IN SITU O DI
APPORTO ESTERNO**

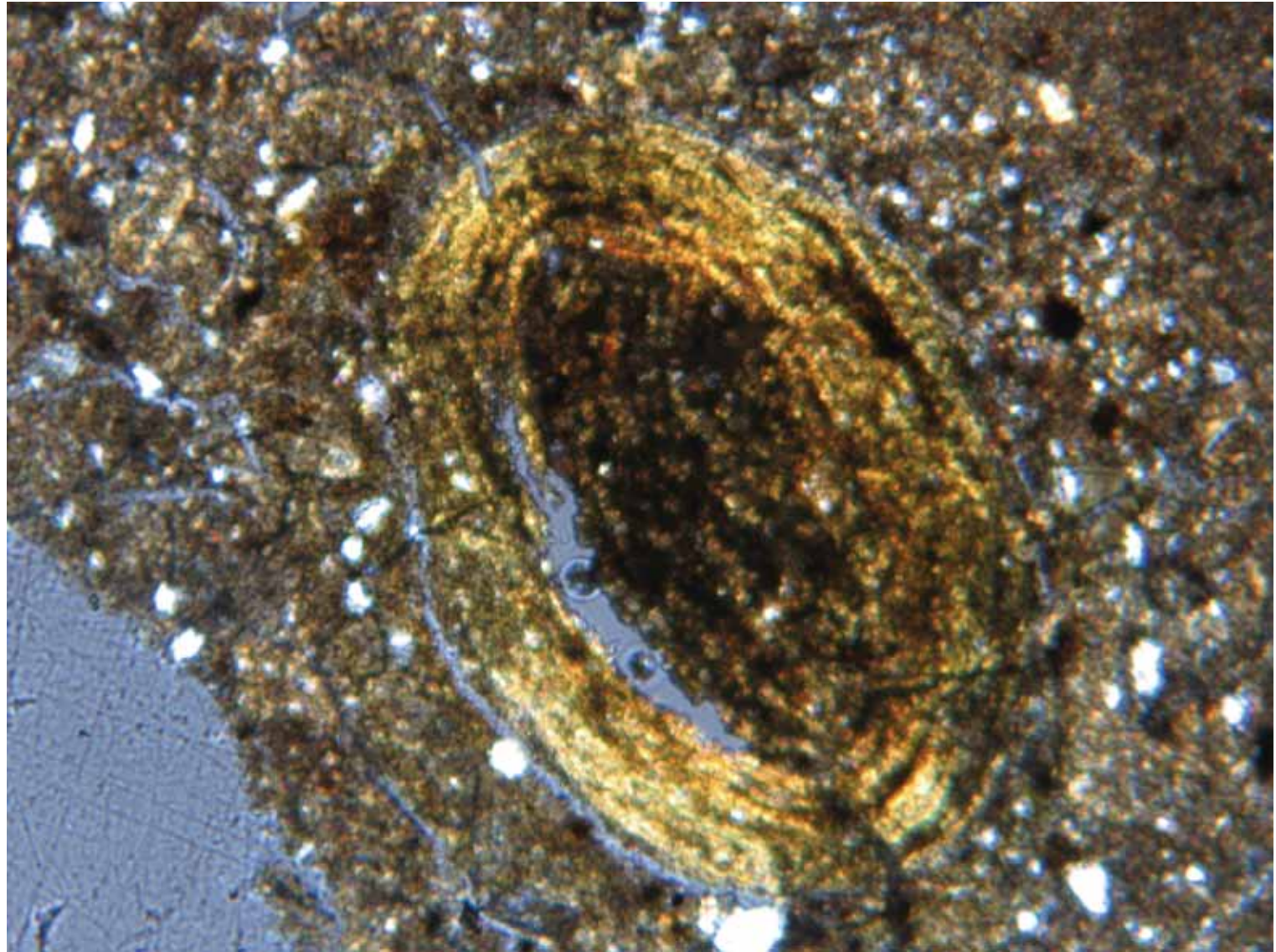
***IN SITU FORMED OR
TRANSPORTED
PEDOGENETIC FEATURES***

N° PL3

Nodulo concentrico
ereditato

*Concentric anorthic
nodule*

200 μ m



**FIGURE PEDOGENETICHE
FORMATESI IN SITU E DI
APPORTO ESTERNO**

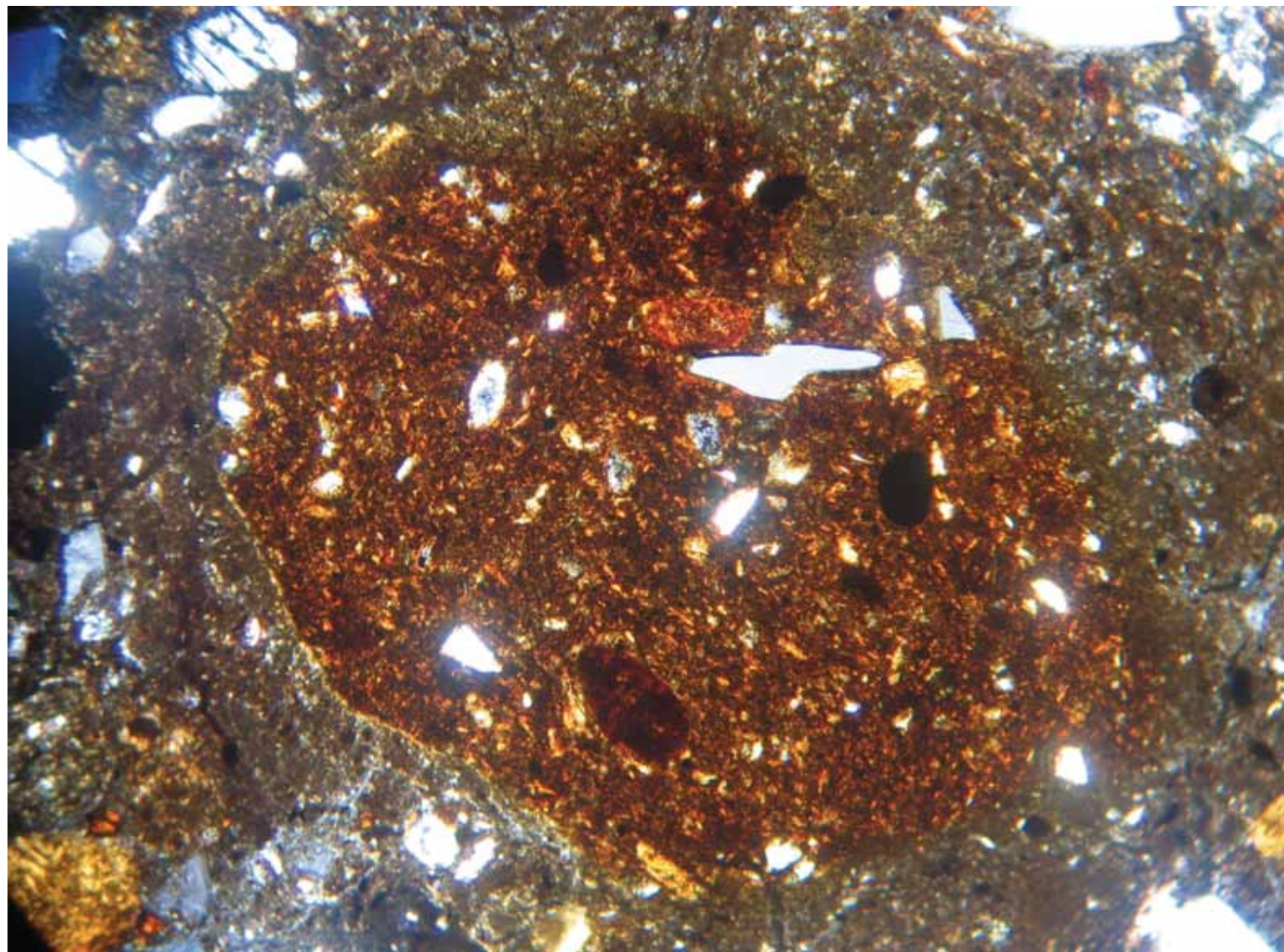
***IN SITU FORMED OR
TRANSPORTED
PEDOGENETIC FEATURES***

N° PL57

Pedorelitto ossidato

***Strongly impregnated
fabric pedofeature***

200 μ m



**FIGURE PEDOGENETICHE
FORMATESI IN SITU E DI
APPORTO ESTERNO**

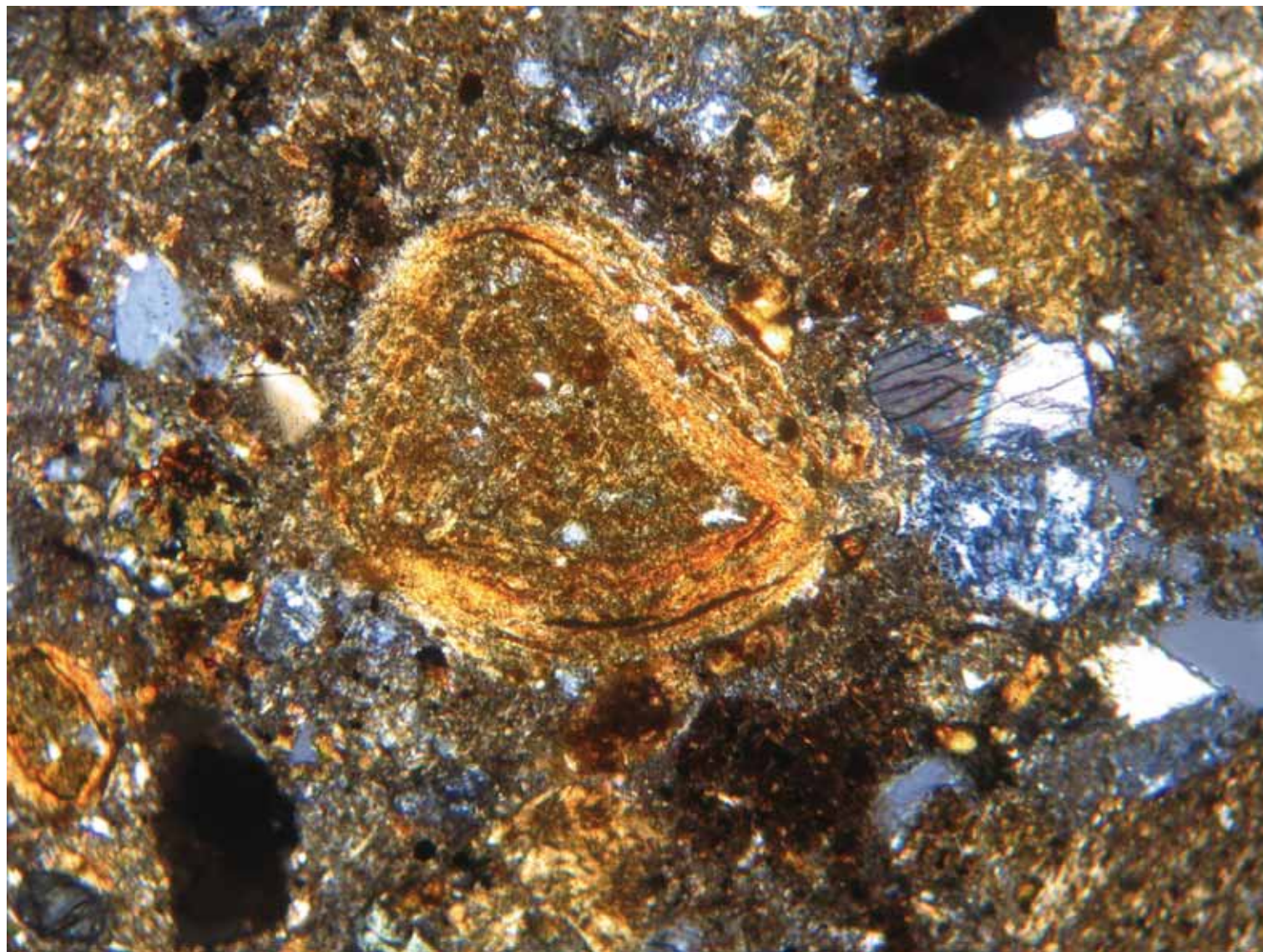
***IN SITU FORMED OR
TRANSPORTED
PEDOGENETIC FEATURES***

N° PL84

Nodulo concentrico

*Concentric disorthic
nodule*

200 μ m



**FIGURE PEDOGENETICHE
FORMATESI IN SITU O DI
APPORTO ESTERNO**

***IN SITU FORMED OR
TRANSPORTED
PEDOGENETIC FEATURES***

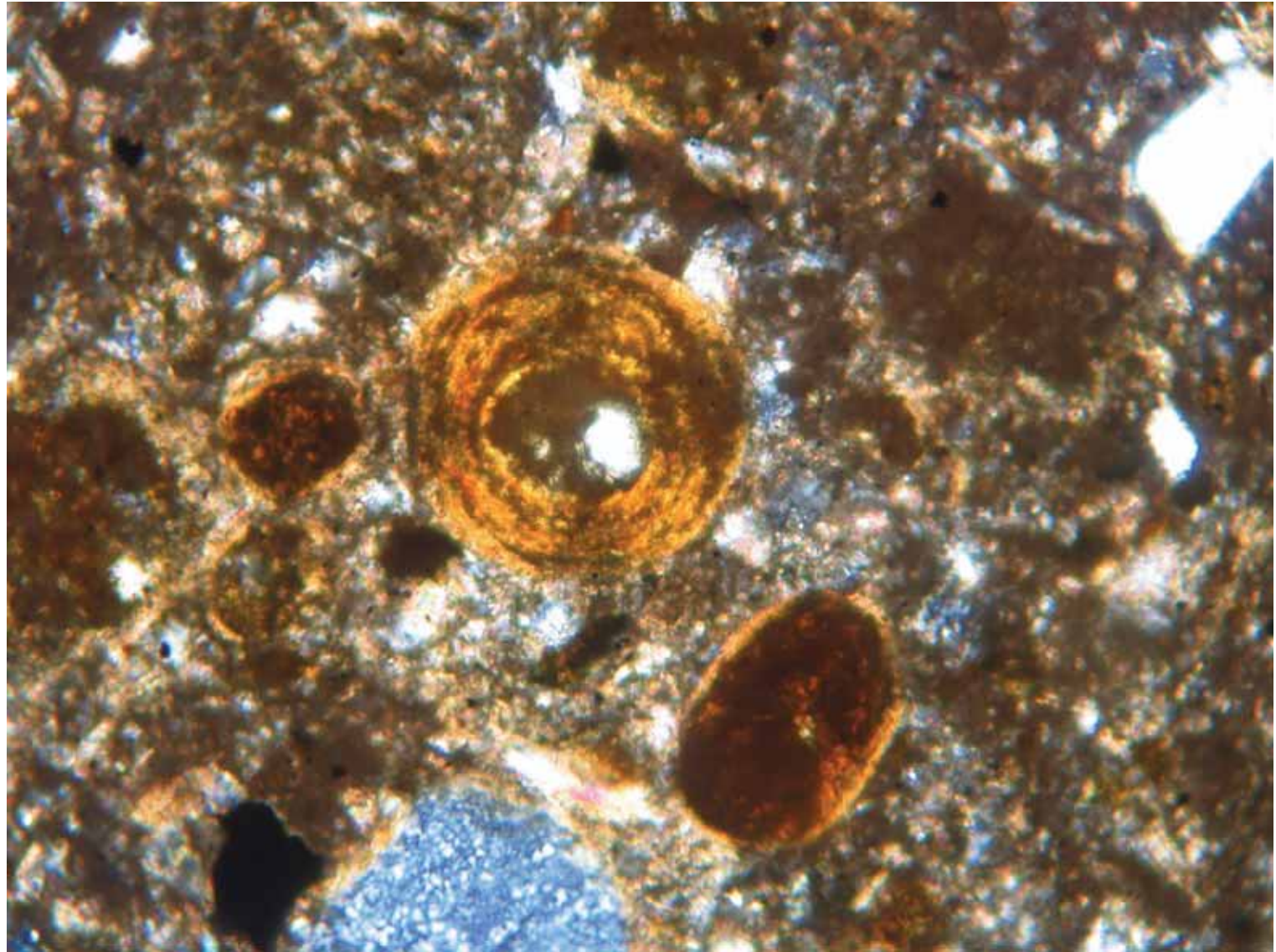
N°

PL3

Nodulo

*Concentric anorthic
nodule*

200 μm



**FIGURE PEDOGENETICHE
FORMATESI IN SITU O DI
APPORTO ESTERNO**

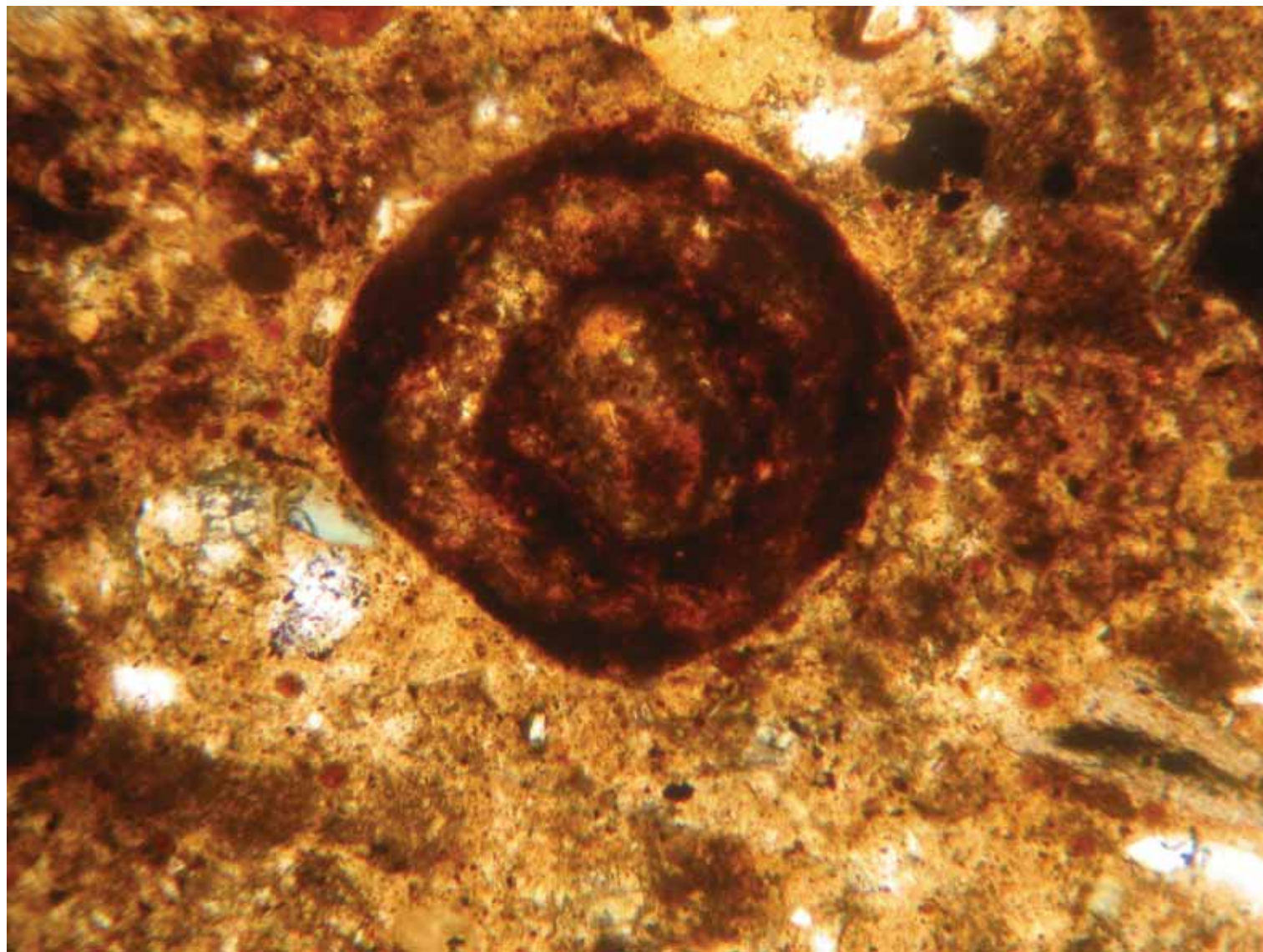
***IN SITU FORMED OR
TRANSPORTED
PEDOGENETIC FEATURES***

N° PL18

Nodulo mosso all'interno
del deposito

*Concentric disorthic
nodule*

150 μ m



**FIGURE PEDOGENETICHE
FORMATESI IN SITU E DI
APPORTO ESTERNO**

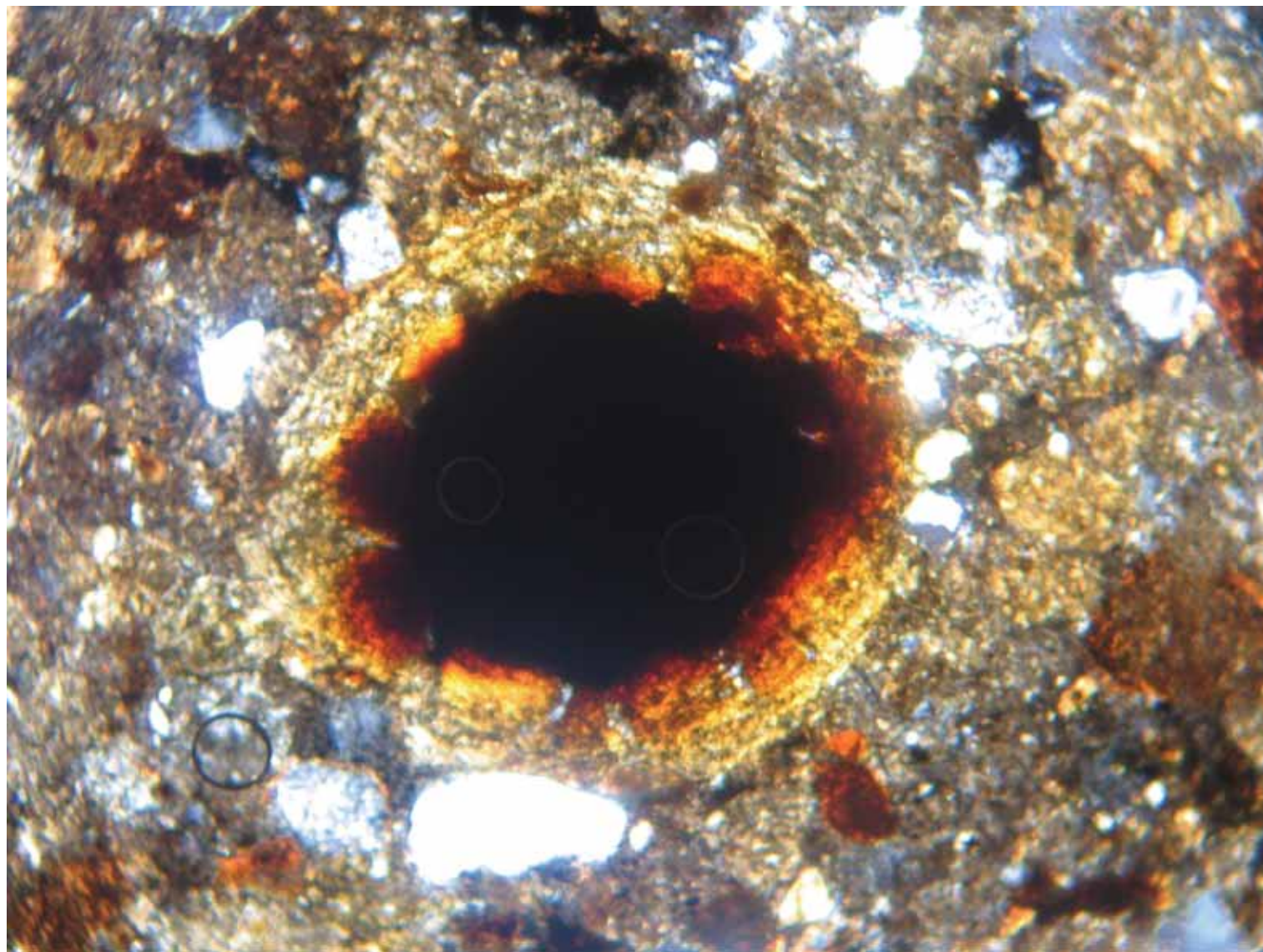
***IN SITU FORMED OR
TRANSPORTED
PEDOGENETIC FEATURES***

N° PL84

Nodulo di idrossidi di
Fe/Mn

Fe/Mn disorthic nodule

200 μ m



**FIGURE PEDOGENETICHE
FORMATESI IN SITU O DI
APPORTO ESTERNO**

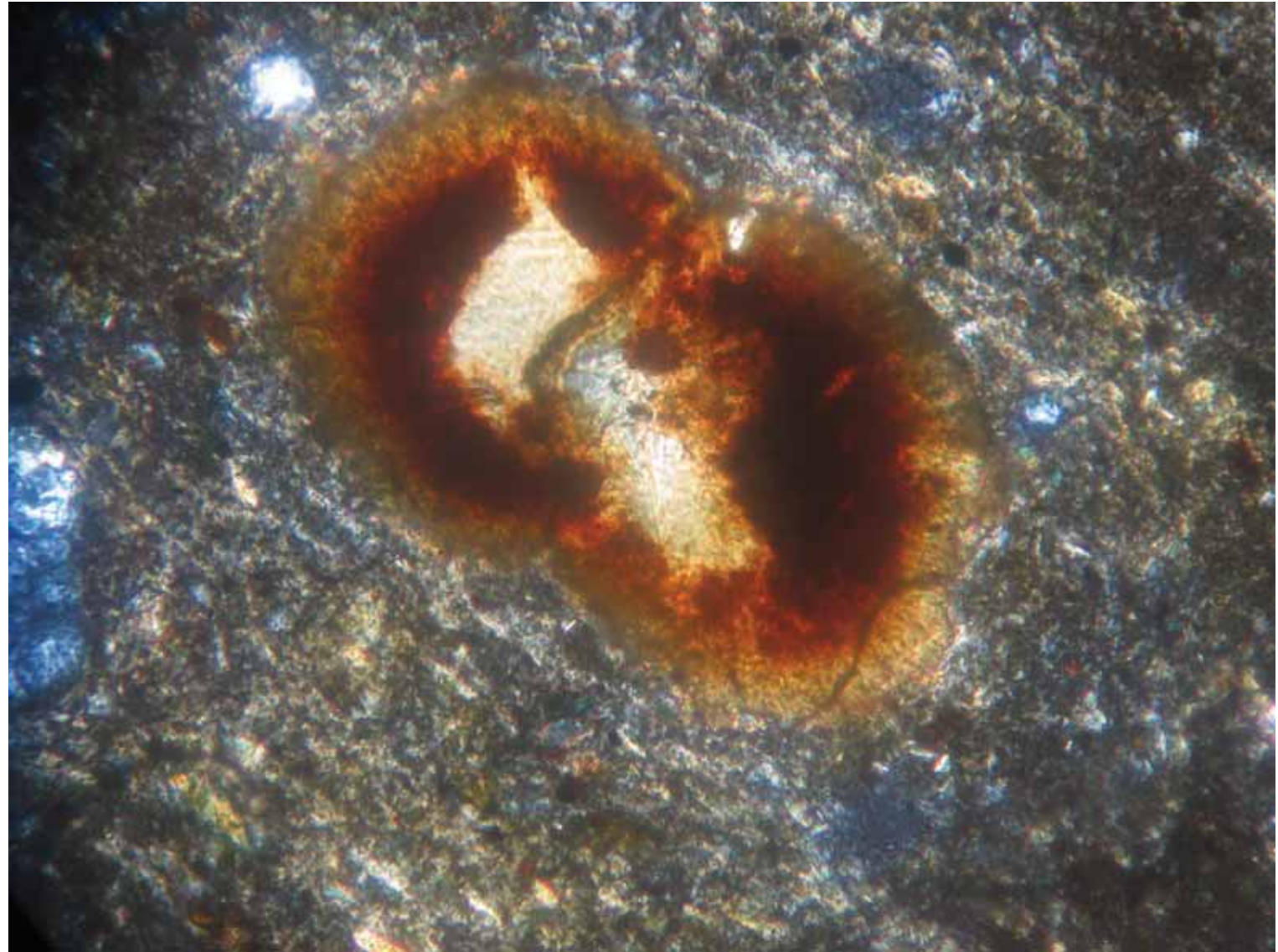
***IN SITU FORMED OR
TRANSPORTED
PEDOGENETIC FEATURES***

N° PL45

**Idrossidi di ferro intorno
a calcite spatica**

***Iron hydroxides covering
some spar calcite grains***

100 μ m



**FIGURE PEDOGENETICHE
FORMATESI IN SITU O DI
APPORTO ESTERNO**

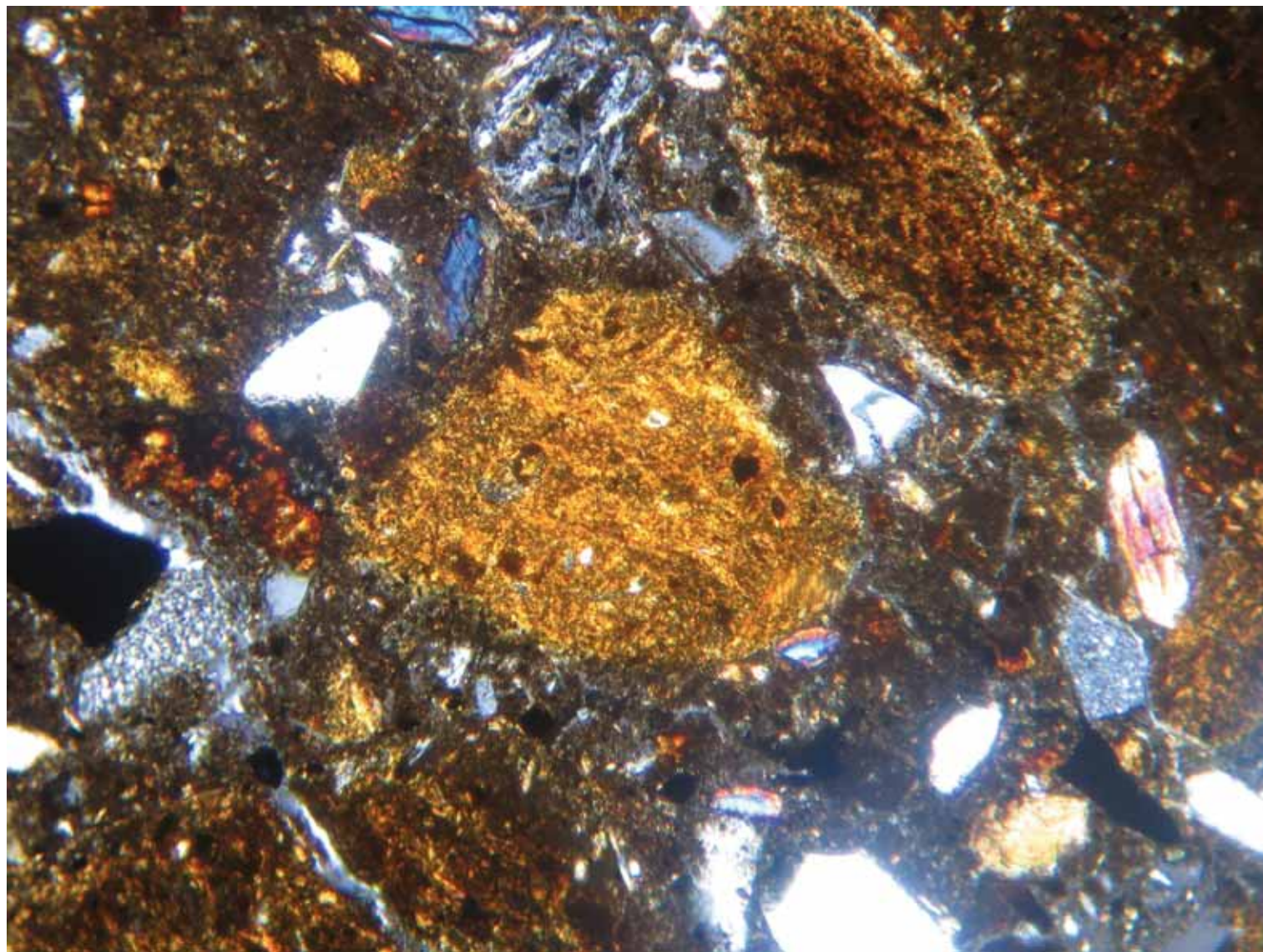
***IN SITU FORMED OR
TRANSPORTED
PEDOGENETIC FEATURES***

N° PL57

Pedorelitti

Matrix pedofeatures

400 μ m



**FIGURE PEDOGENETICHE
FORMATESI IN SITU E DI
APPORTO ESTERNO**

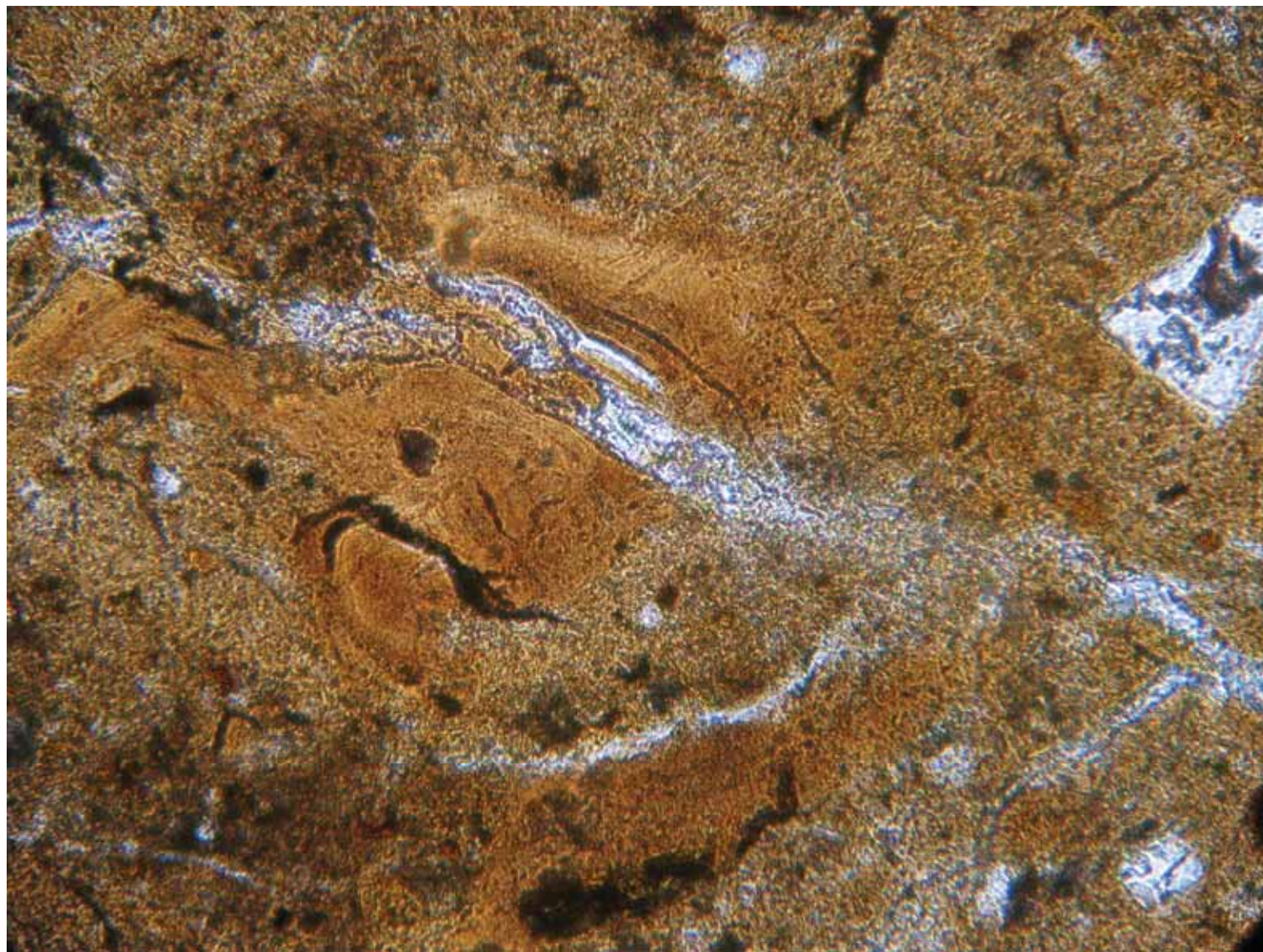
***IN SITU FORMED OR
TRANSPORTED
PEDOGENETIC FEATURES***

N° PL46

Patine argillose
disturbate

*Microlaminated
disturbed clay coating*

200 μ m



**FIGURE PEDOGENETICHE
FORMATESI IN SITU E DI
APPORTO ESTERNO**

***IN SITU FORMED OR
TRANSPORTED
PEDOGENETIC FEATURES***

N° PL21

Patine argillose a forte
ingrandimento

Clay coating

50 μ m



**FIGURE PEDOGENETICHE
FORMATESI IN SITU E DI
APPORTO ESTERNO**

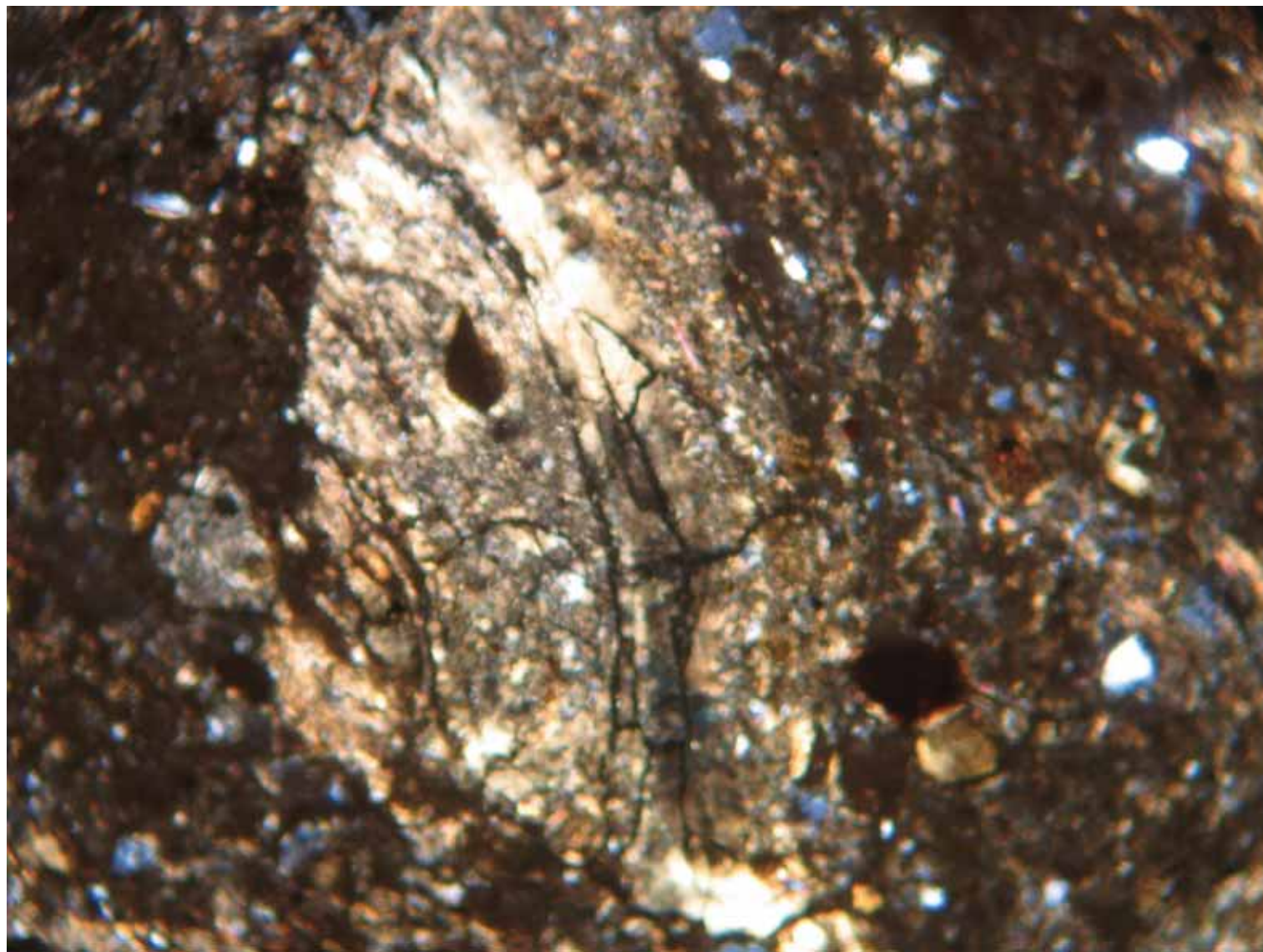
***IN SITU FORMED OR
TRANSPORTED
PEDOGENETIC FEATURES***

N° PL88

Patine argillose

*Layered clay and silt
coating*

400 μ m



**FIGURE PEDOGENETICHE
FORMATESI IN SITU E DI
APPORTO ESTERNO**

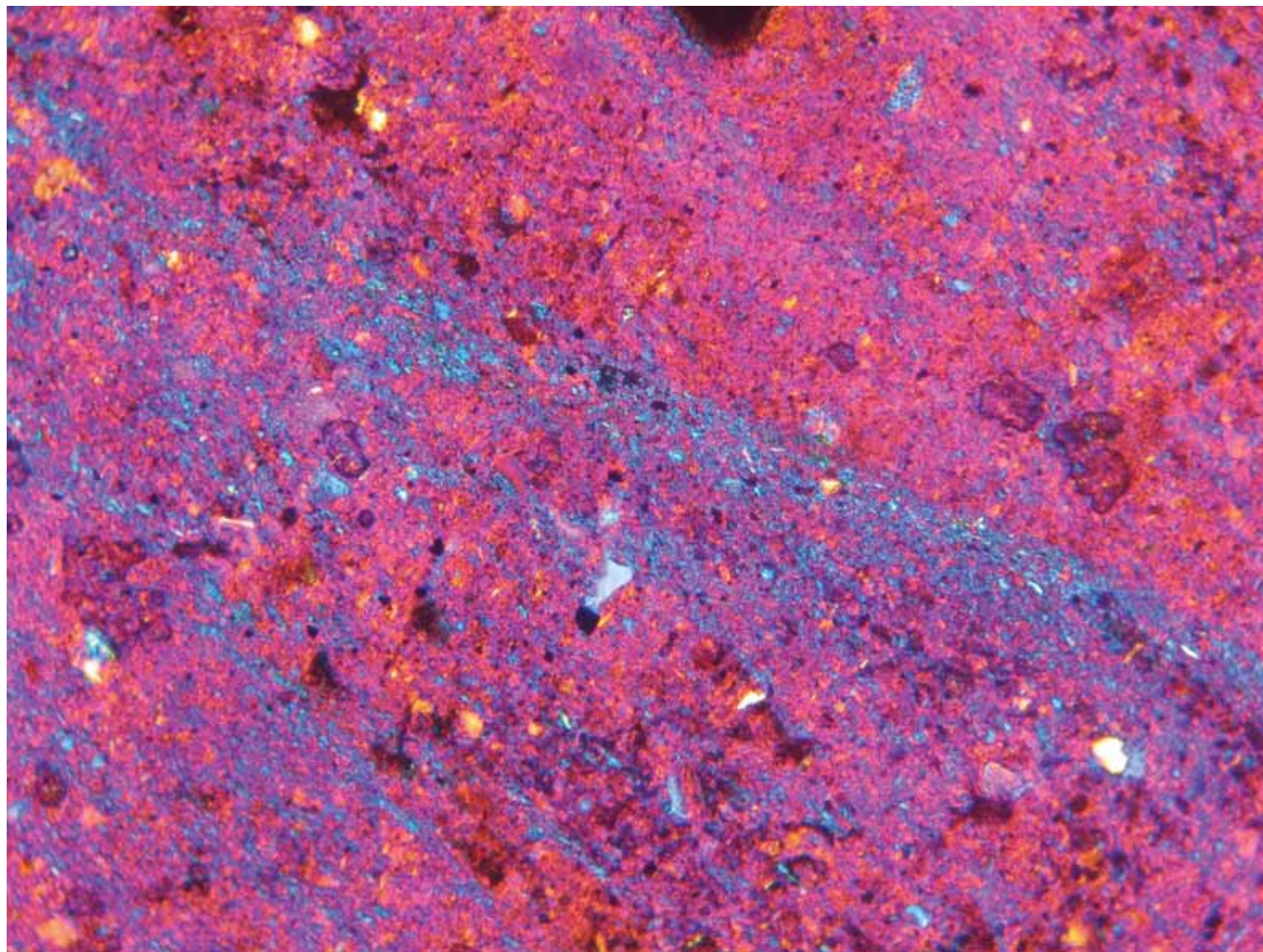
***IN SITU FORMED OR
TRANSPORTED
PEDOGENETIC FEATURES***

N° PL45

**Fabric pedogenetica
unistriale**

Unistrial b-fabric

250 μ m



**FIGURE PEDOGENETICHE
FORMATESI IN SITU E DI
APPORTO ESTERNO**

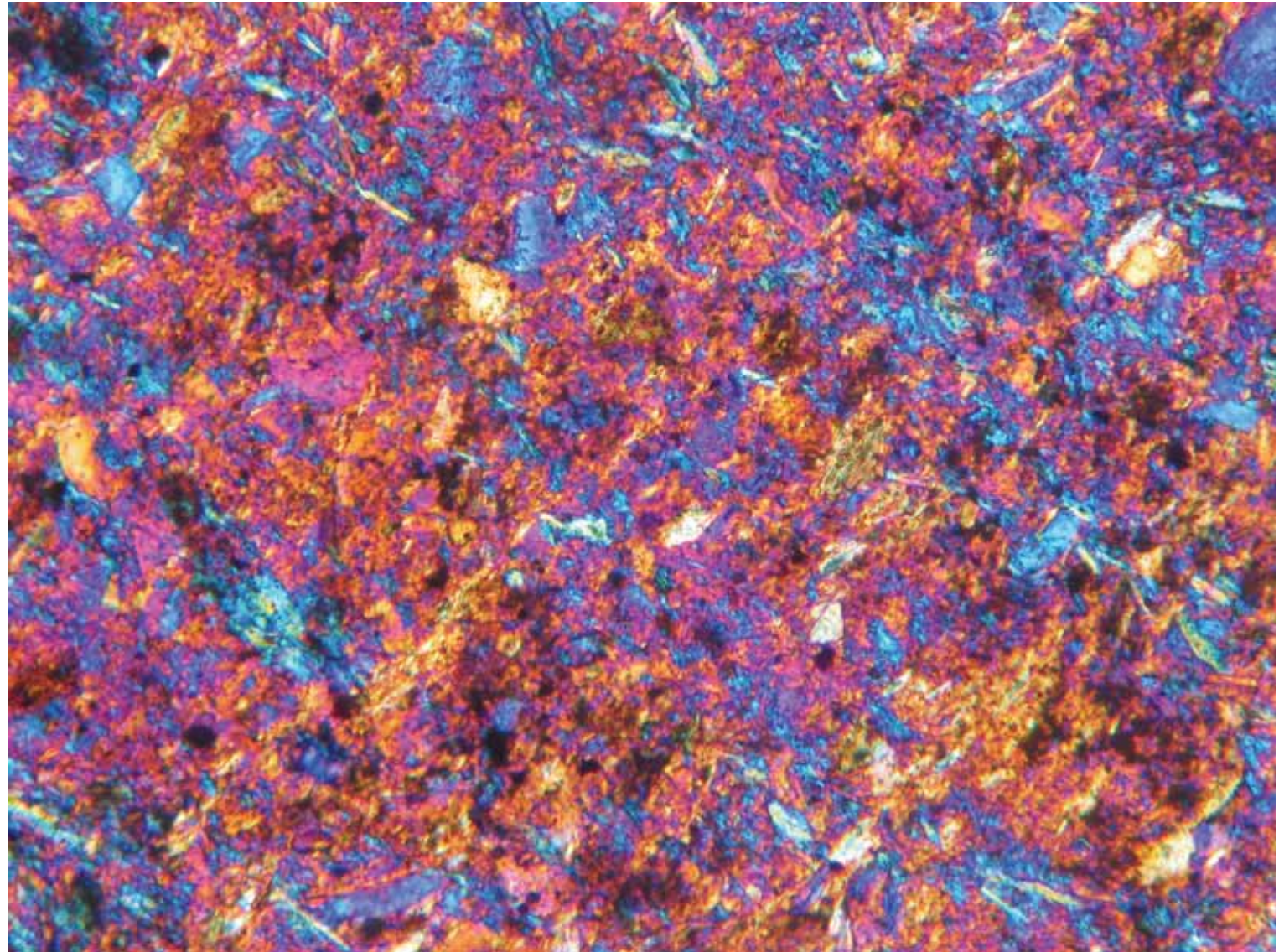
***IN SITU FORMED OR
TRANSPORTED
PEDOGENETIC FEATURES***

N° PL11

Fabric pedogenetica a
reticolo

Cross striated b-fabric

200 μ m



**FIGURE PEDOGENETICHE
FORMATESI IN SITU E DI
APPORTO ESTERNO**

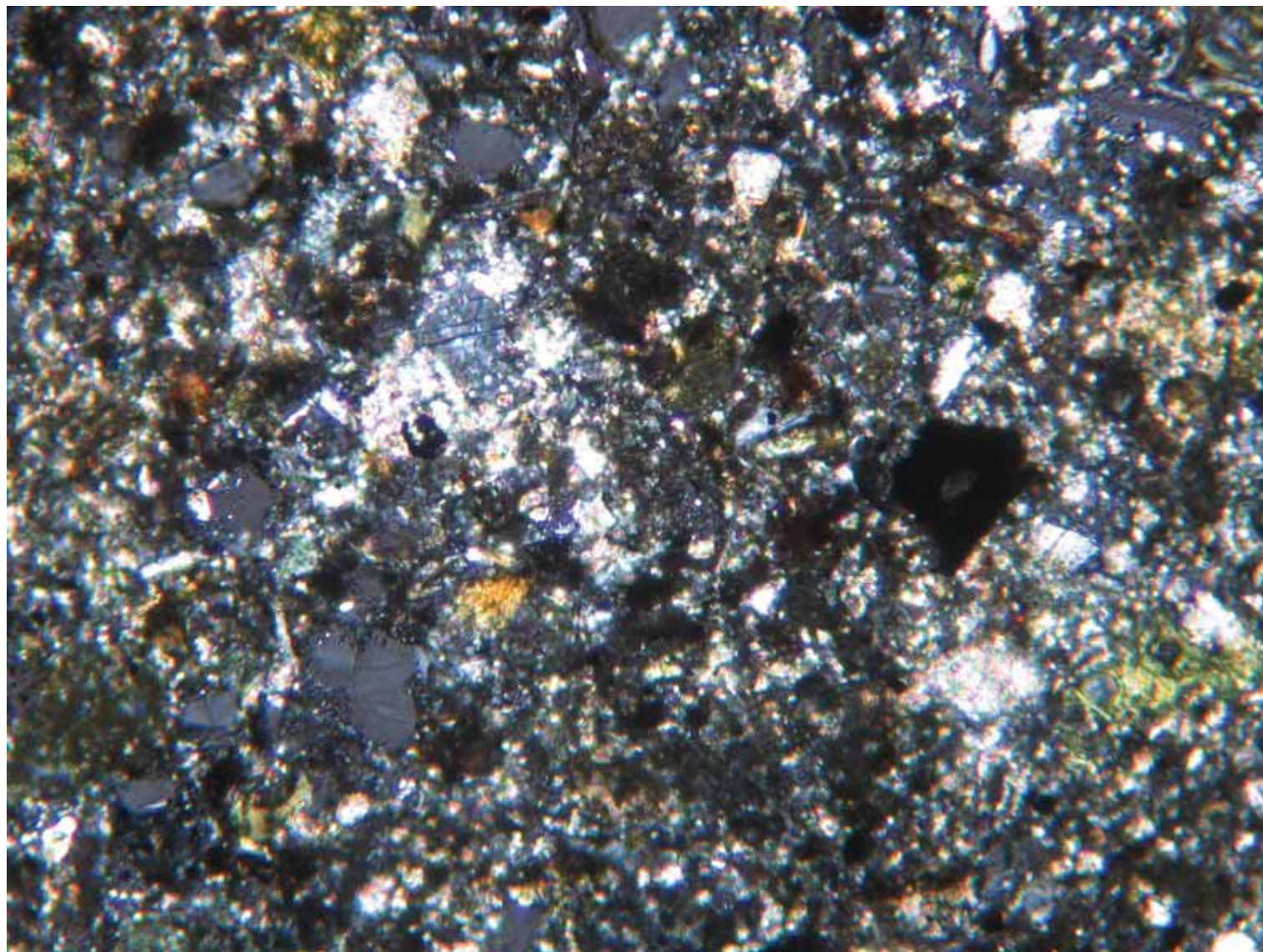
***IN SITU FORMED OR
TRANSPORTED
PEDOGENETIC FEATURES***

N° PL66

Fabric cristallitica
(carbonato di calcio)

Crystallitic b-fabric

800 μm



**MINERALI DI
NEOFORMAZIONE
(PEDOGENETICI E/O
DIAGENETICI)**

***NEOFORMED MINERALS
(PEDOGENETIC AND/OR
DIAGENETIC)***

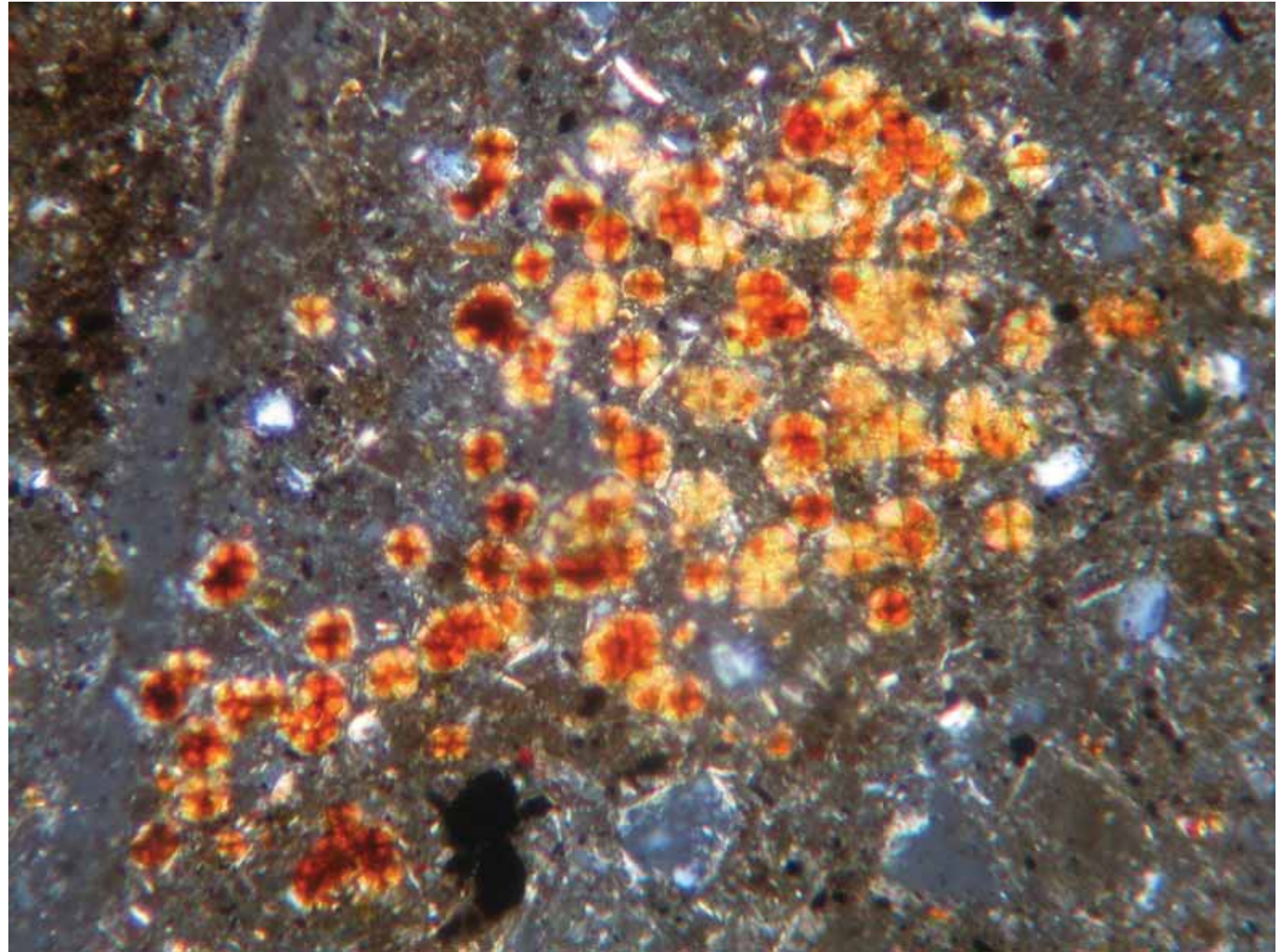
N°

PL5

Siderite

Siderite

400 μm



**FIGURE PEDOGENETICHE
FORMATESI IN SITU E DI
APPORTO ESTERNO**

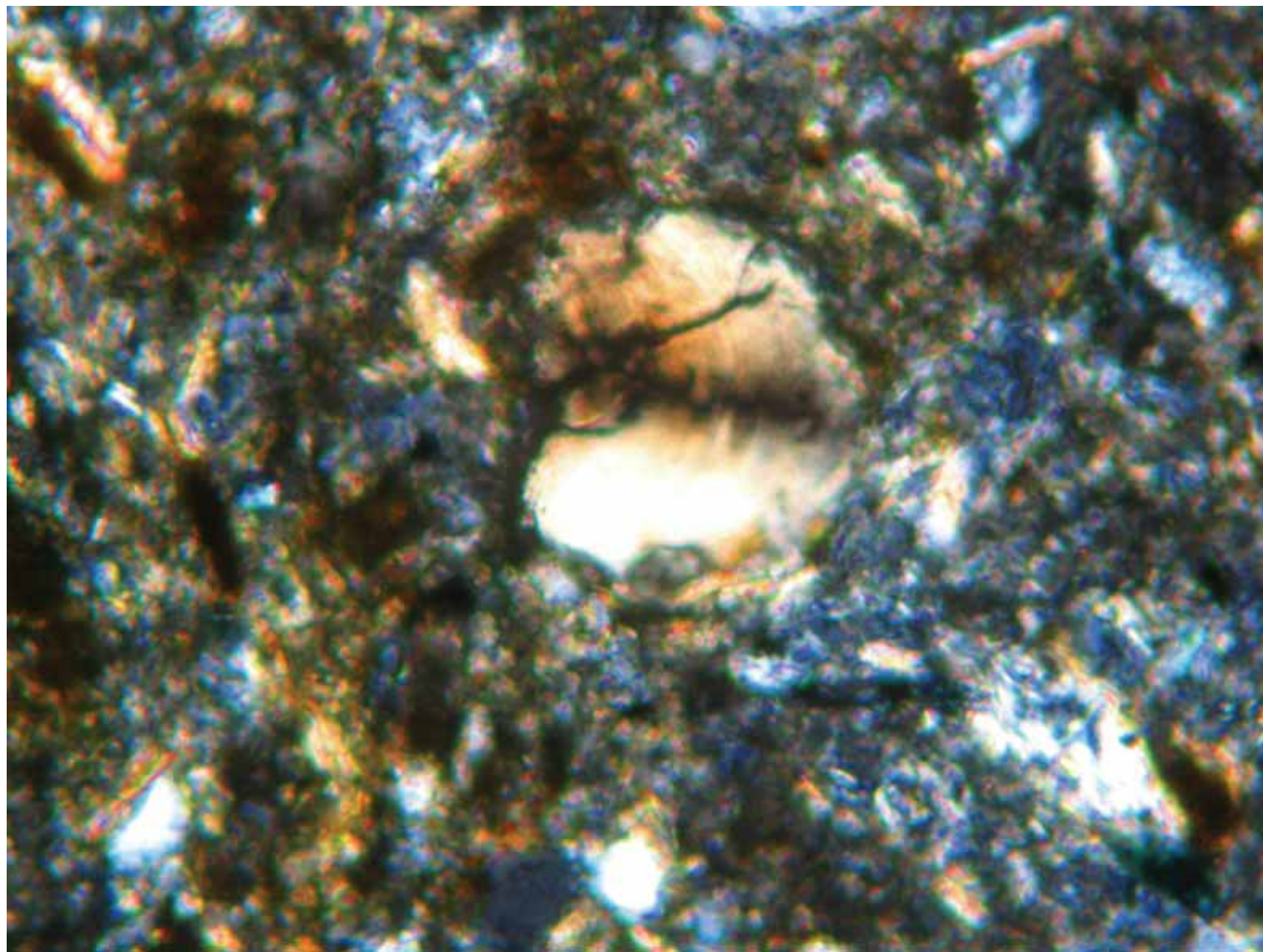
***IN SITU FORMED OR
TRANSPORTED
PEDOGENETIC FEATURES***

N° **PL46**

Riempimento argilloso

Clay infilling

200 μm



**FIGURE PEDOGENETICHE
FORMATESI IN SITU O DI
APPORTO ESTERNO**

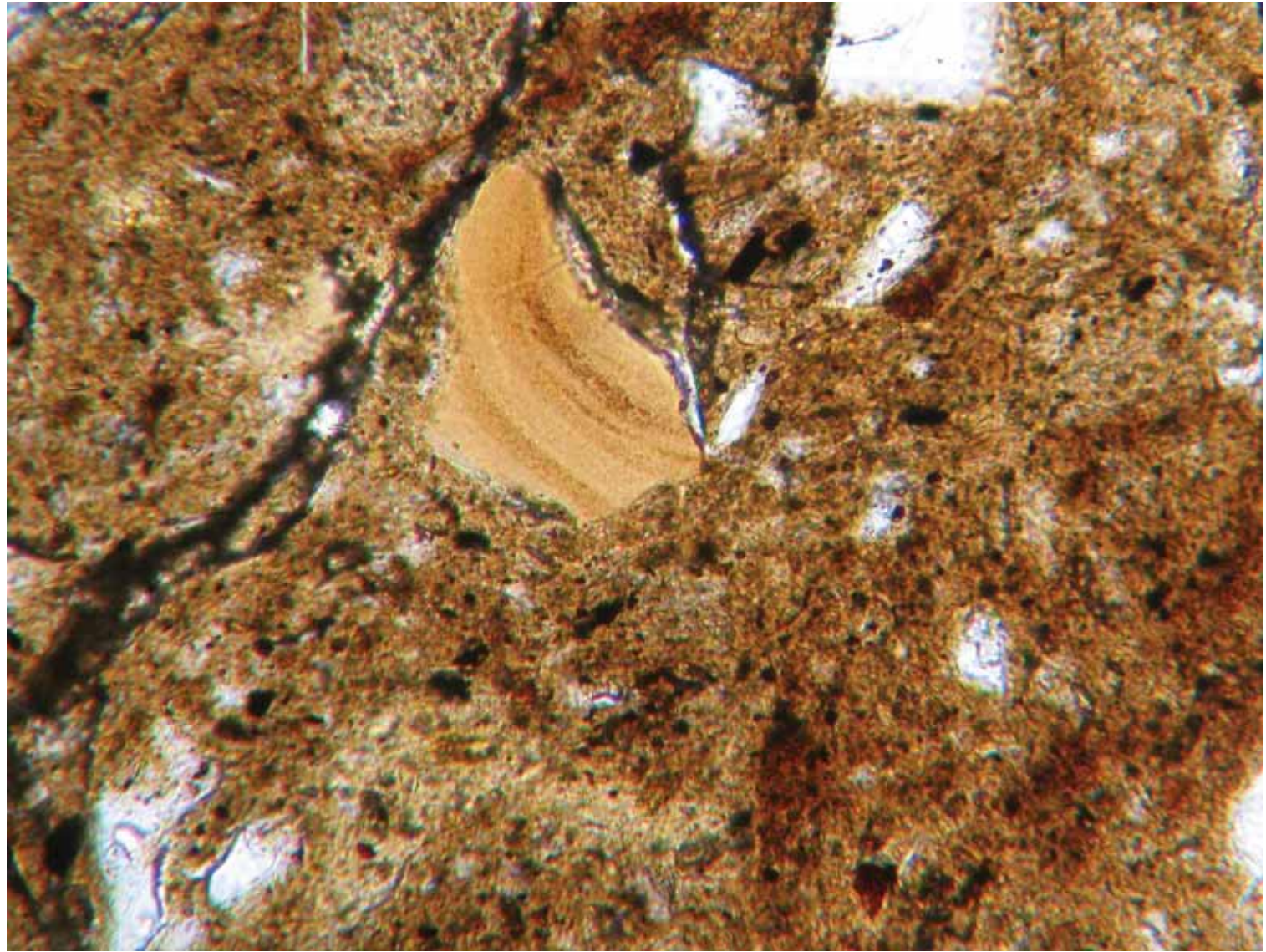
***IN SITU FORMED OR
TRANSPORTED
PEDOGENETIC FEATURES***

N° PL16

Patine di argille limo:
Nicols II

*Layered clay and silt
coating : II Ns*

400 μ m



**FIGURE PEDOGENETICHE
FORMATESI IN SITU E DI
APPORTO ESTERNO**

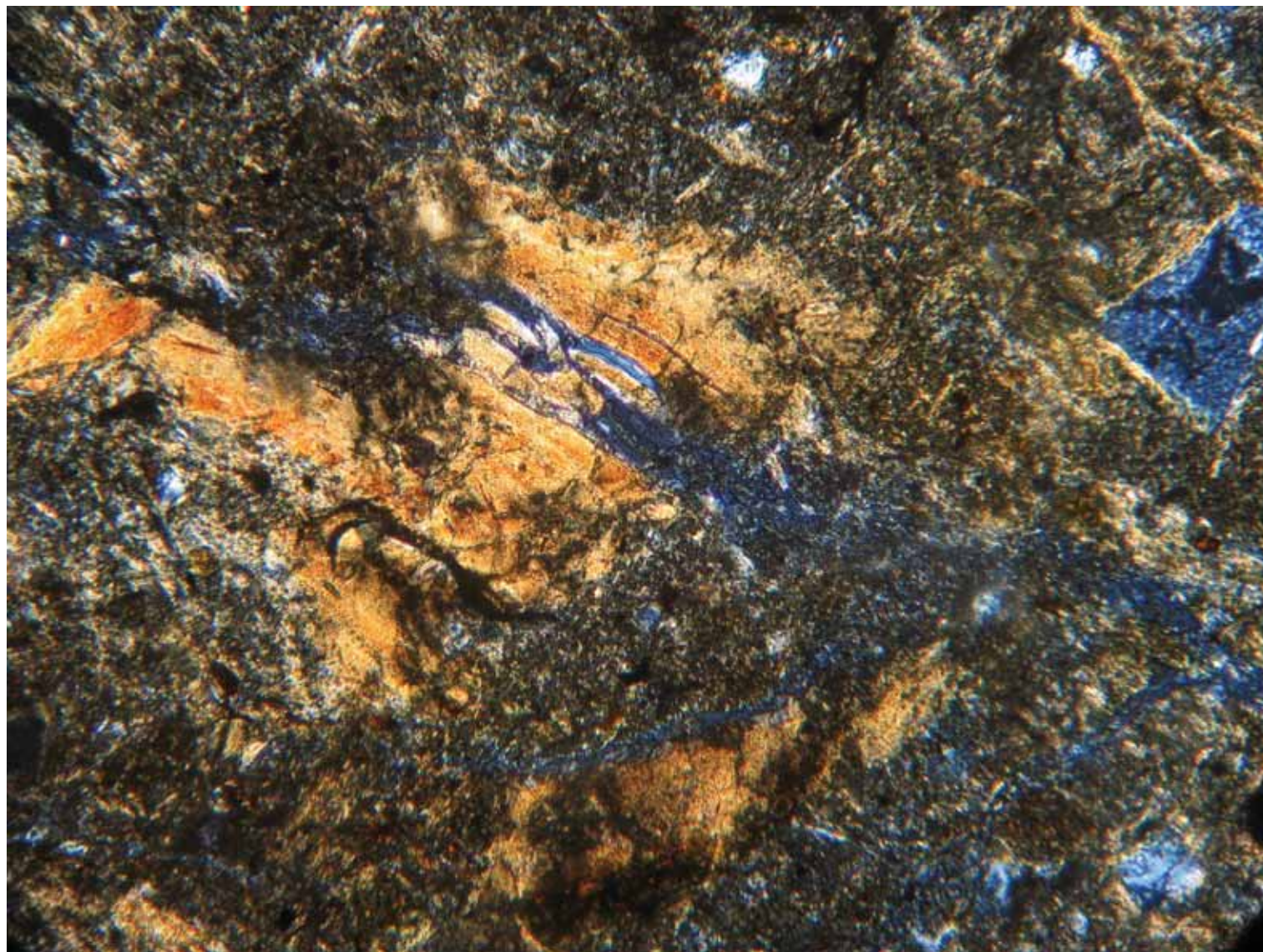
***IN SITU FORMED OR
TRANSPORTED
PEDOGENETIC FEATURES***

N° PL21

Patine argillose
disturbate

*Microlaminated
disturbed clay coating*

400 μ m



**MINERALI DI
NEOFORMAZIONE
(PEDOGENETICI E/O
DIAGENETICI)**

***NEOFORMED MINERALS
(PEDOGENETIC AND/OR
DIAGENETIC)***

N° PL85

Siderite

Siderite

250 μ m



**MINERALI DI
NEOFORMAZIONE
(PEDOGENETICI E/O
DIAGENETICI)**

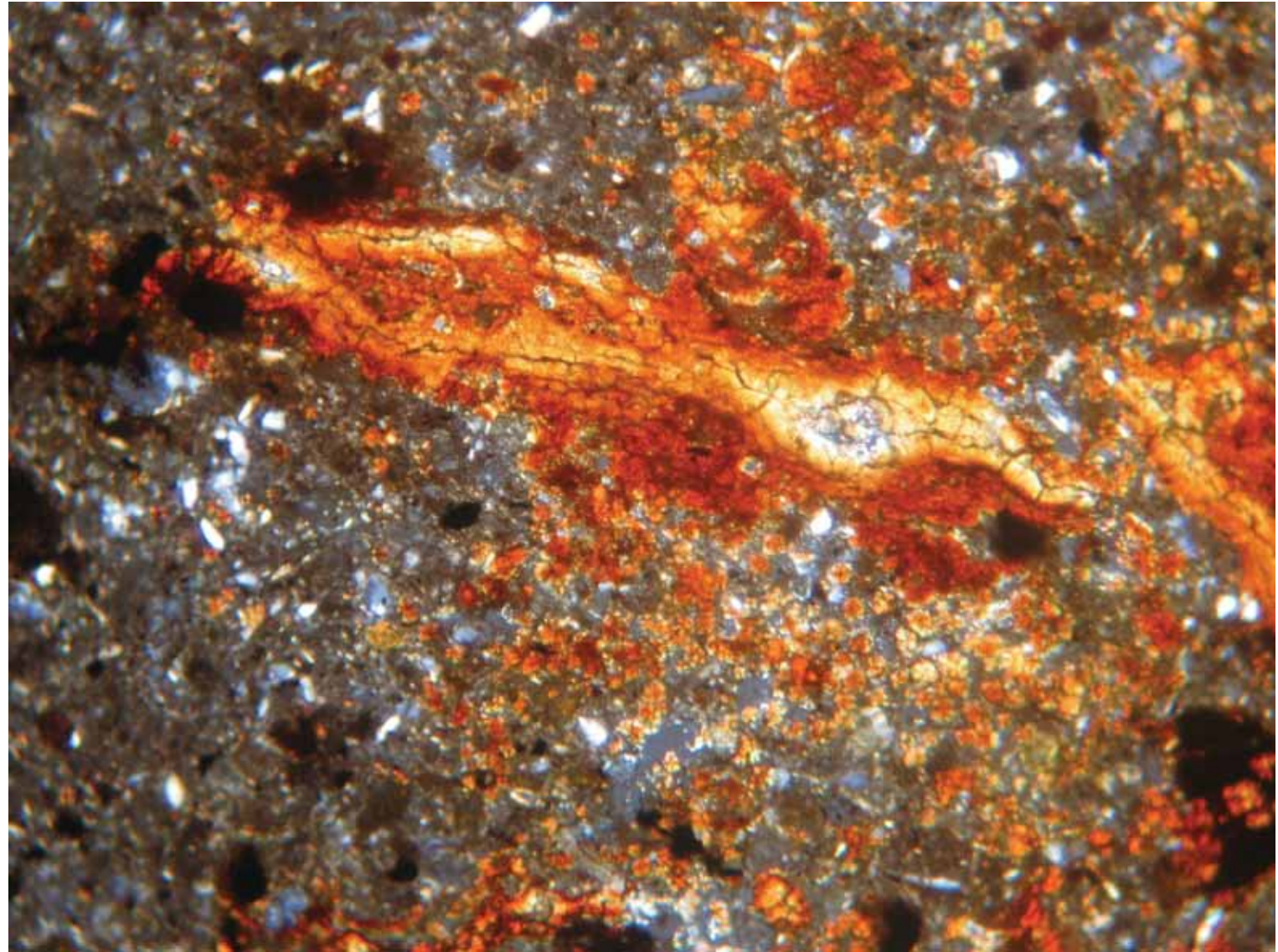
**NEOFORMED MINERALS
(PEDOGENETIC AND/OR
DIAGENETIC)**

N° PL15

Siderite in festoni

Banded siderite coating

200 μ m



**MINERALI DI
NEOFORMAZIONE
(PEDOGENETICI E/O
DIAGENETICI)**

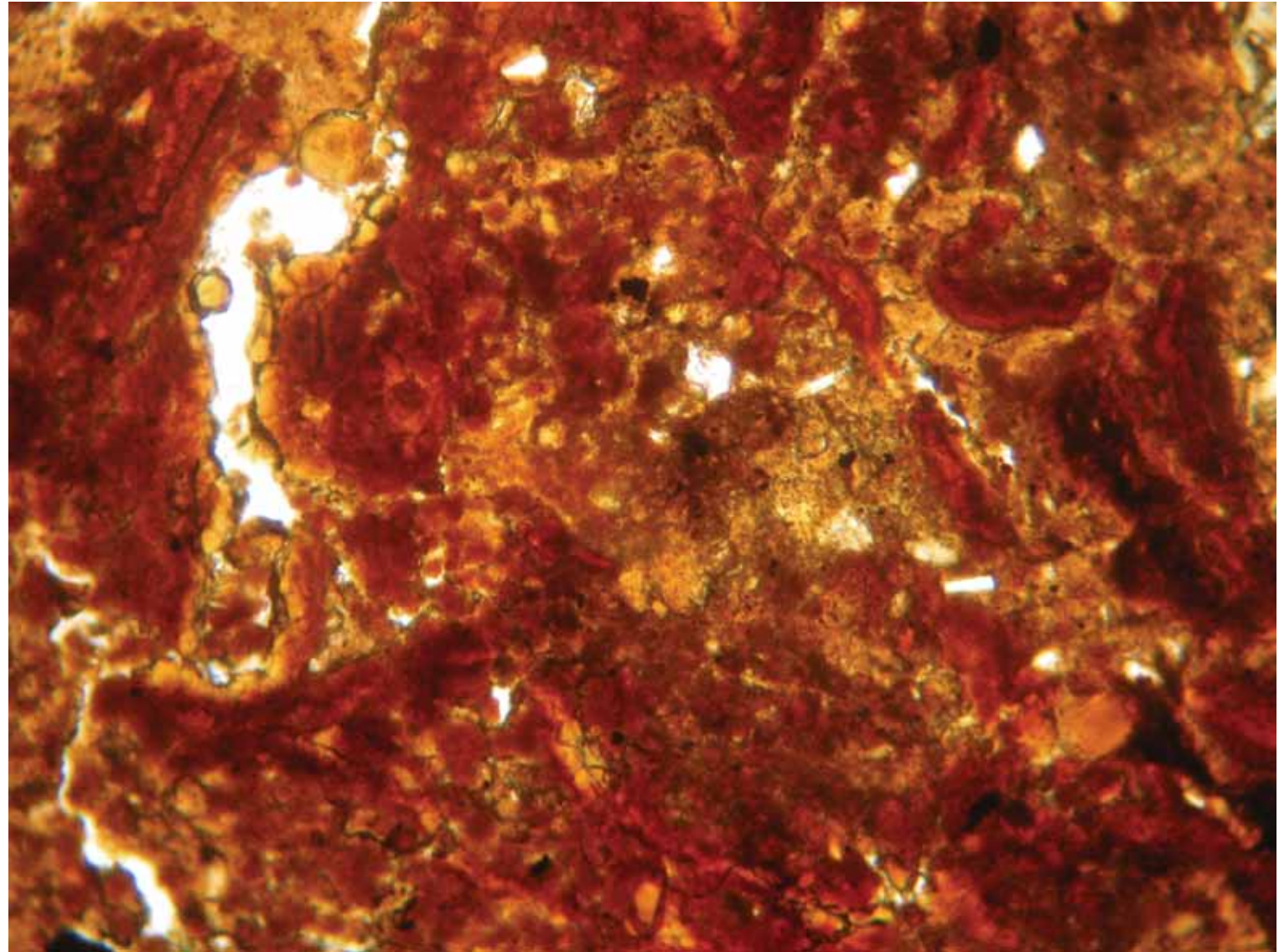
***NEOFORMED MINERALS
(PEDOGENETIC AND/OR
DIAGENETIC)***

N° PL18

Siderite deposta a
bande

*Banded siderite coating,
Il Nicols*

150 μ m



**MINERALI DI
NEOFORMAZIONE
(PEDOGENETICI E/O
DIAGENETICI)**

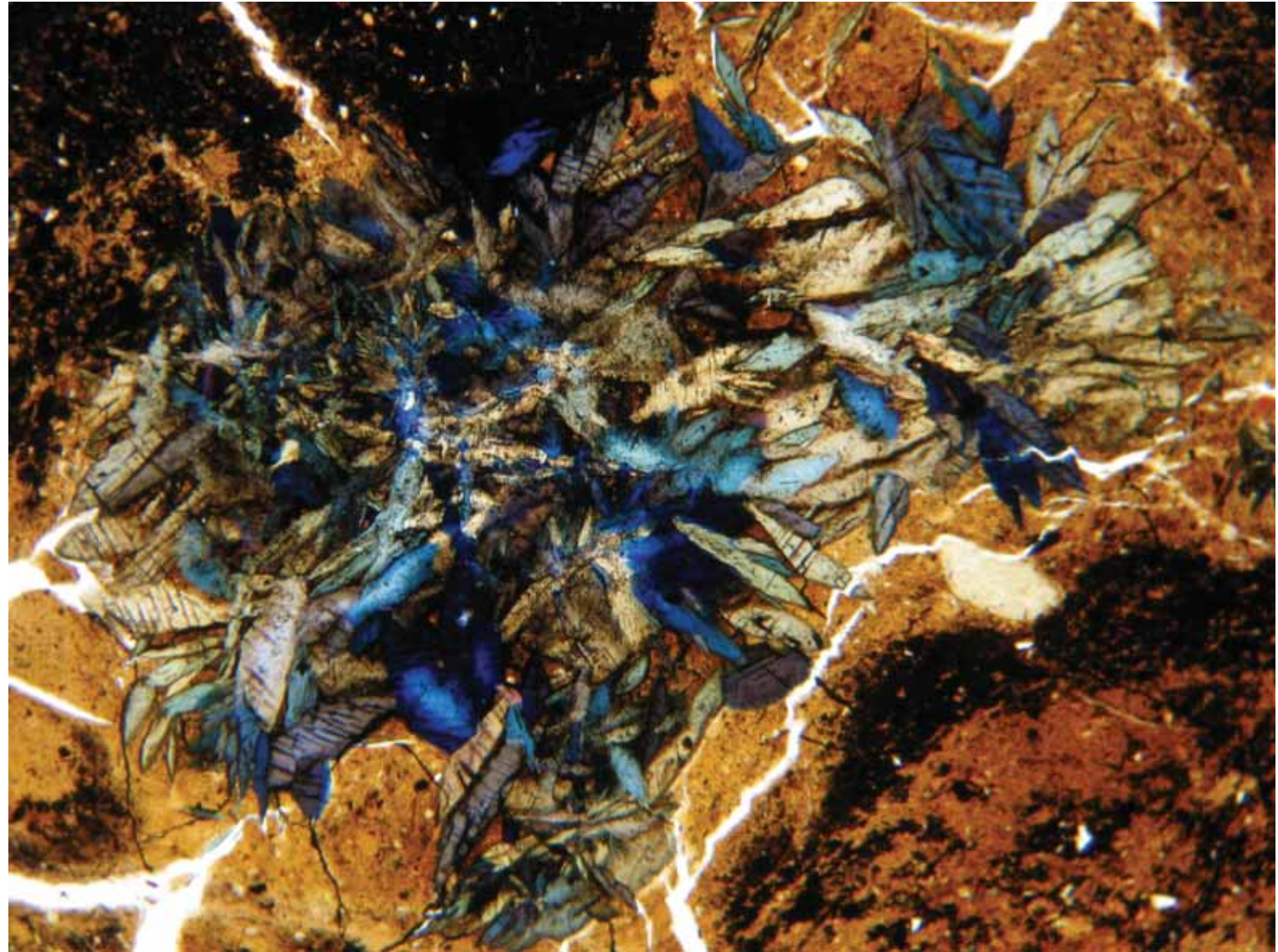
***NEOFORMED MINERALS
(PEDOGENETIC AND/OR
DIAGENETIC)***

N° PL46

Aggregato di cristalli di
vivianite

Vivianite aggregate

250 μ m



**MINERALI DI
NEOFORMAZIONE
(PEDOGENETICI E/O
DIAGENETICI)**

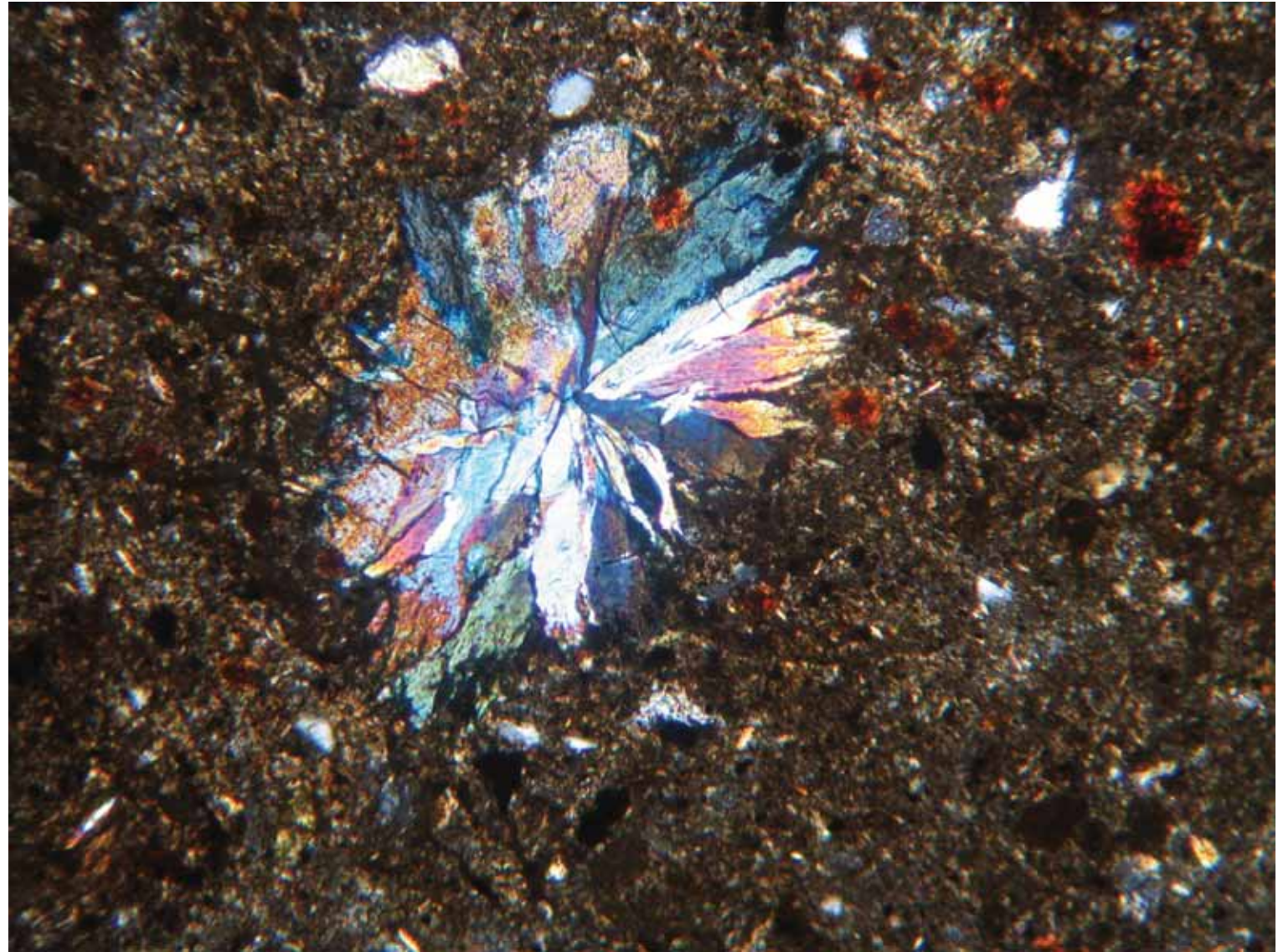
***NEOFORMED MINERALS
(PEDOGENETIC AND/OR
DIAGENETIC)***

N° PL15

Aggregato di cristalli di
vivianite

Vivianite aggregate

150 μ m



**MINERALI DI
NEOFORMAZIONE
(PEDOGENETICI E/O
DIAGENETICI)**

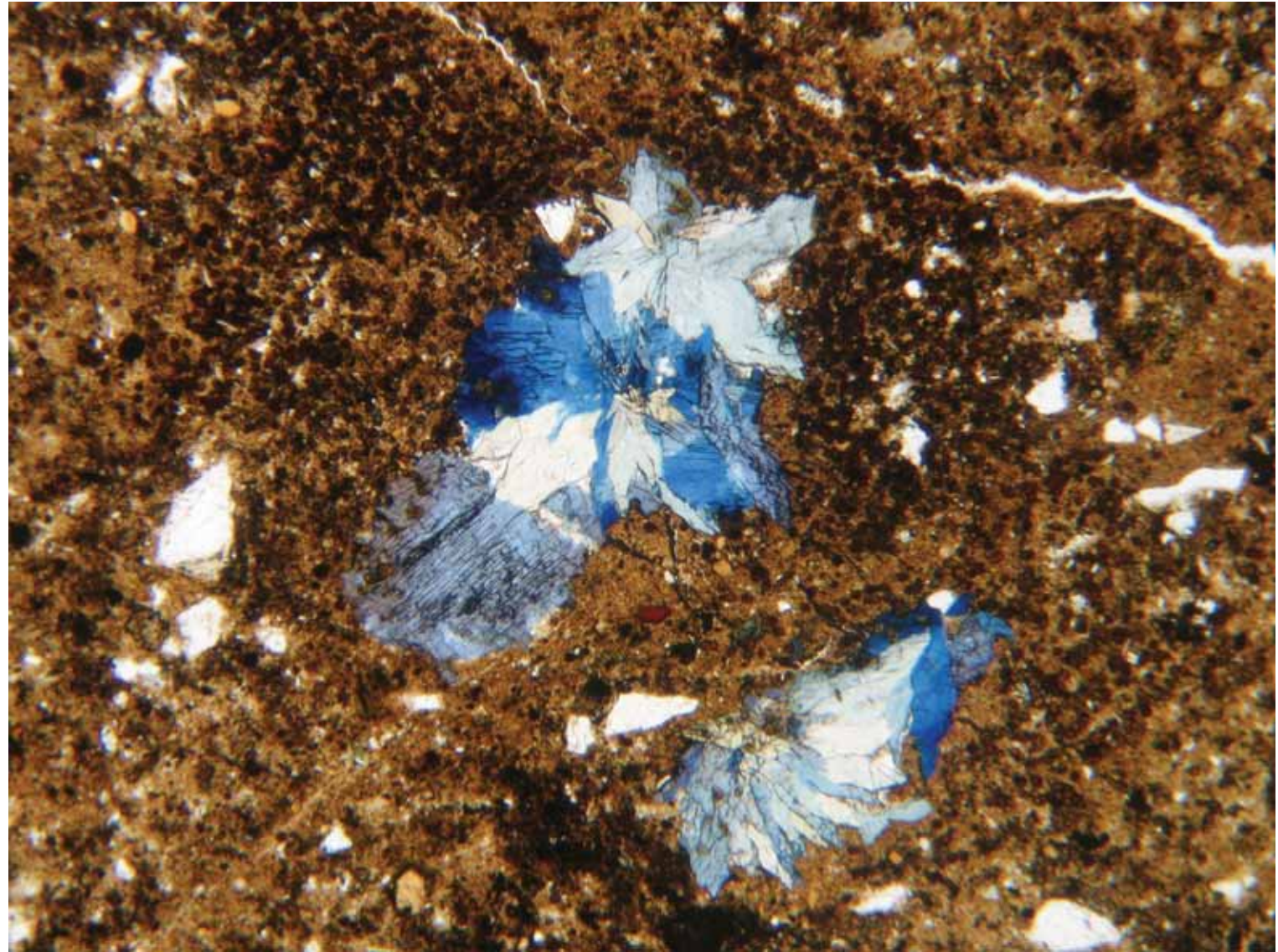
***NEOFORMED MINERALS
(PEDOGENETIC AND/OR
DIAGENETIC)***

N° PL18

Aggregato di cristalli di
vivianite :Nicols II

*Vivianite aggregate
II Nicols*

500 μ m



**MINERALI DI
NEOFORMAZIONE
(PEDOGENETICI E/O
DIAGENETICI)**

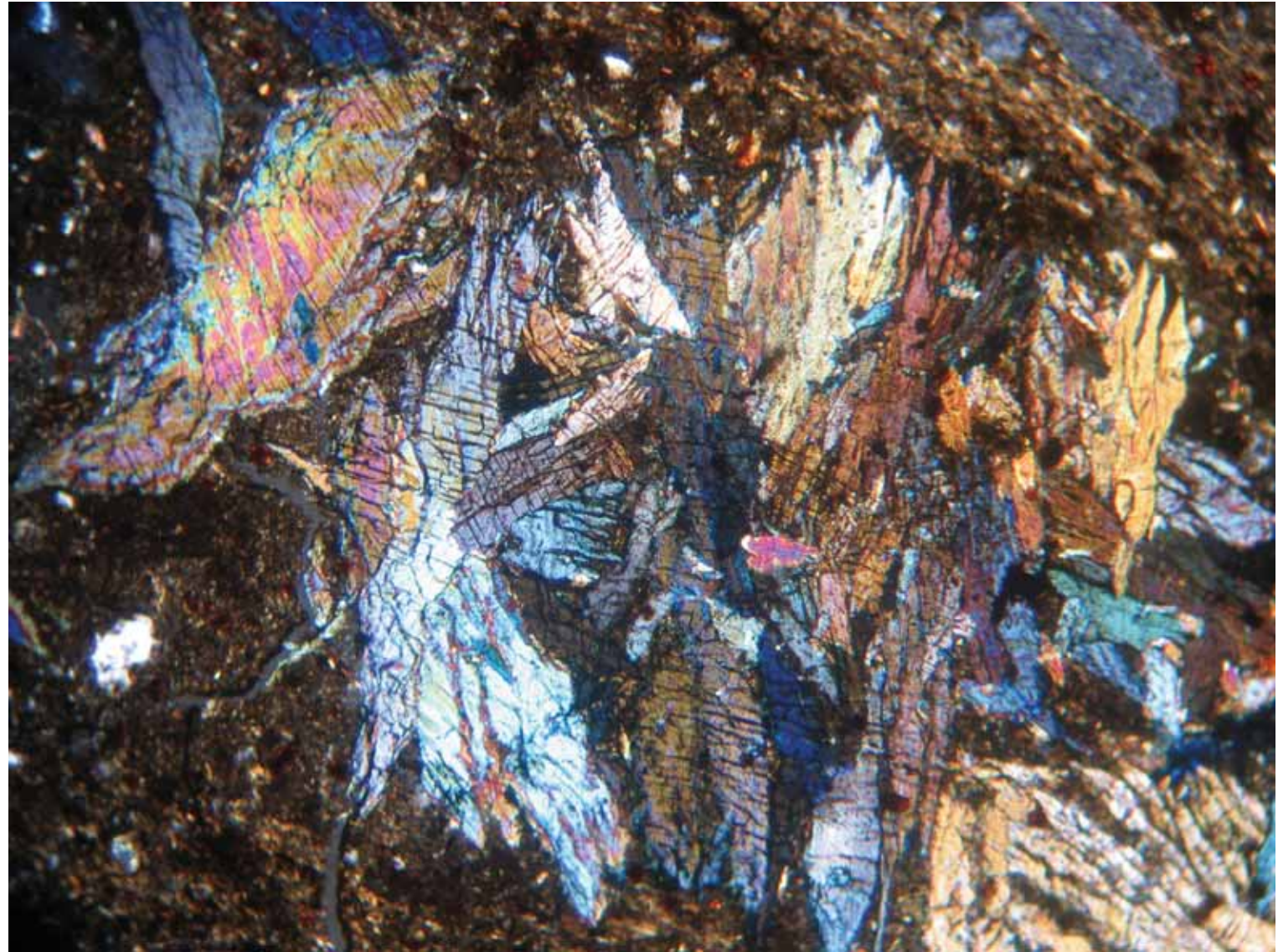
***NEOFORMED MINERALS
(PEDOGENETIC AND/OR
DIAGENETIC)***

N° PL15

Aggregato di cristalli di
vivianite :Nicols II

*Vivianite aggregate :
II Nicols*

150 μ m



**MINERALI DI
NEOFORMAZIONE
(PEDOGENETICI E/O
DIAGENETICI)**

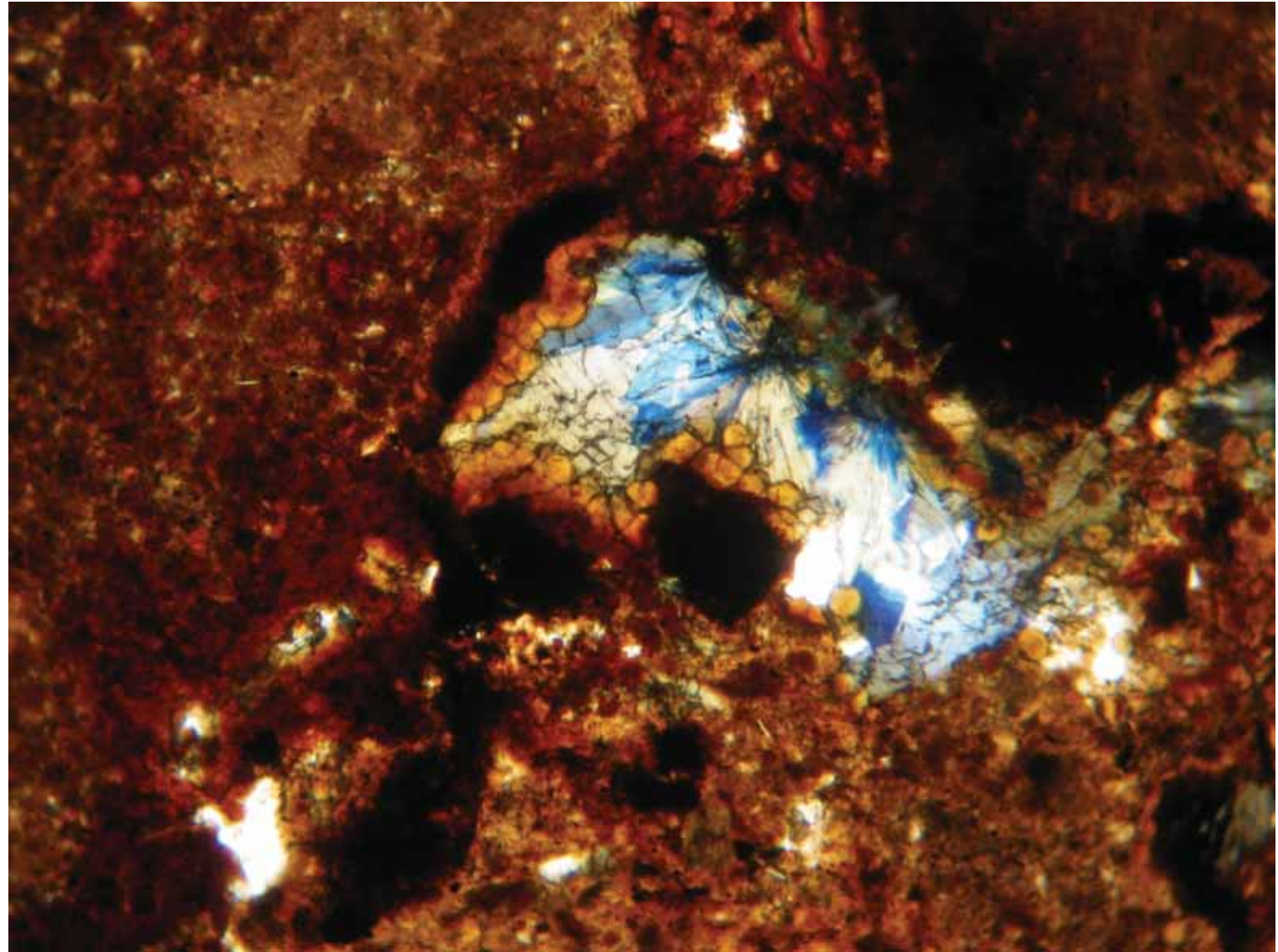
***NEOFORMED MINERALS
(PEDOGENETIC AND/OR
DIAGENETIC)***

N° PL15

Aggregato di vivianite
circondato da
bande di siderite

*Vivianite aggregate
banded by siderite*

400 μ m



**MINERALI DI
NEOFORMAZIONE
(PEDOGENETICI E/O
DIAGENETICI)**

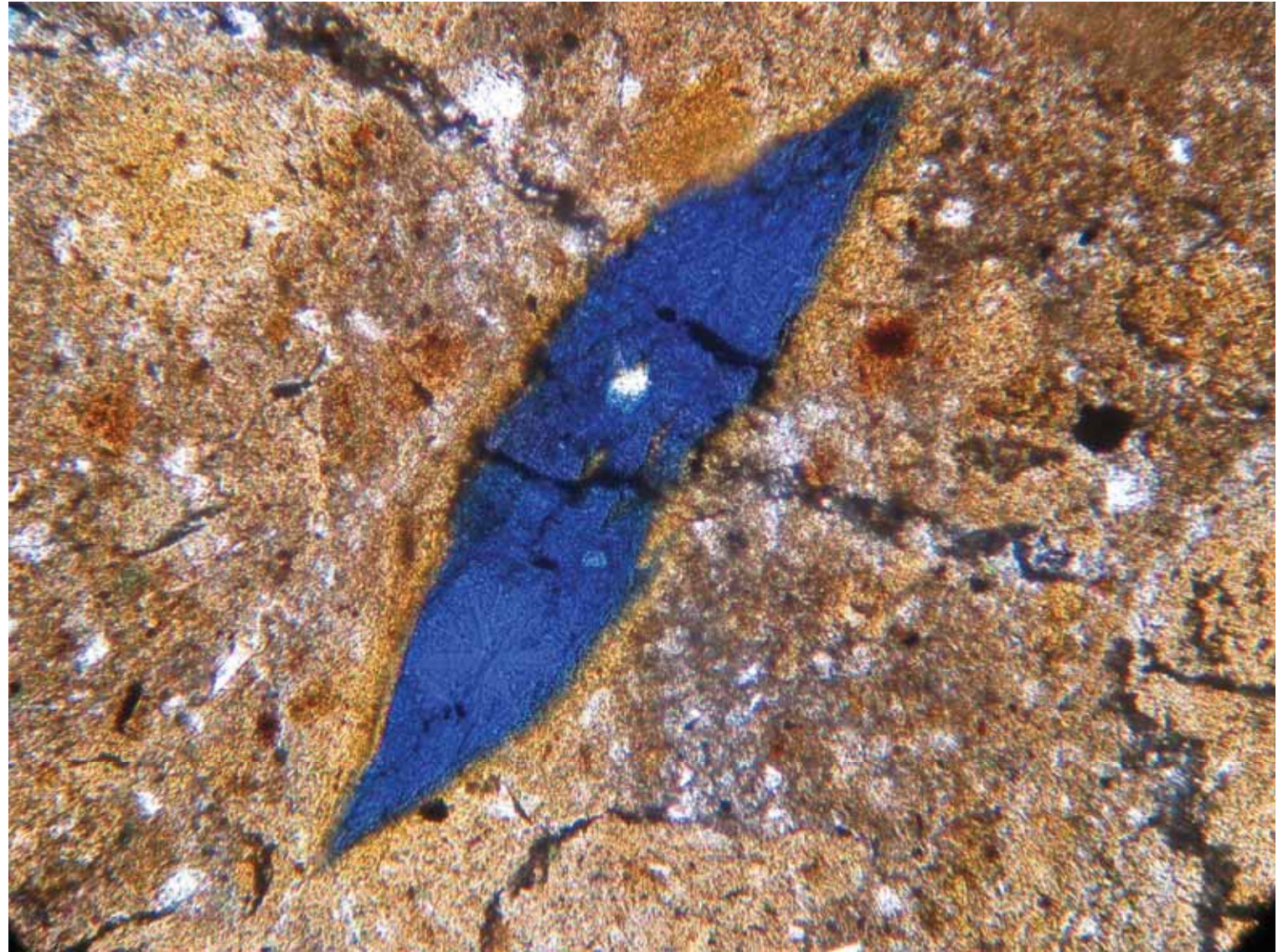
**NEOFORMED MINERALS
(PEDOGENETIC AND/OR
DIAGENETIC)**

N° PL19

Singolo individuo di
vivanite : Nicols II

*Single crystal of
vivanite, II Nicols*

400 μ m



**MINERALI DI
NEOFORMAZIONE
(PEDOGENETICI E/O
DIAGENETICI)**

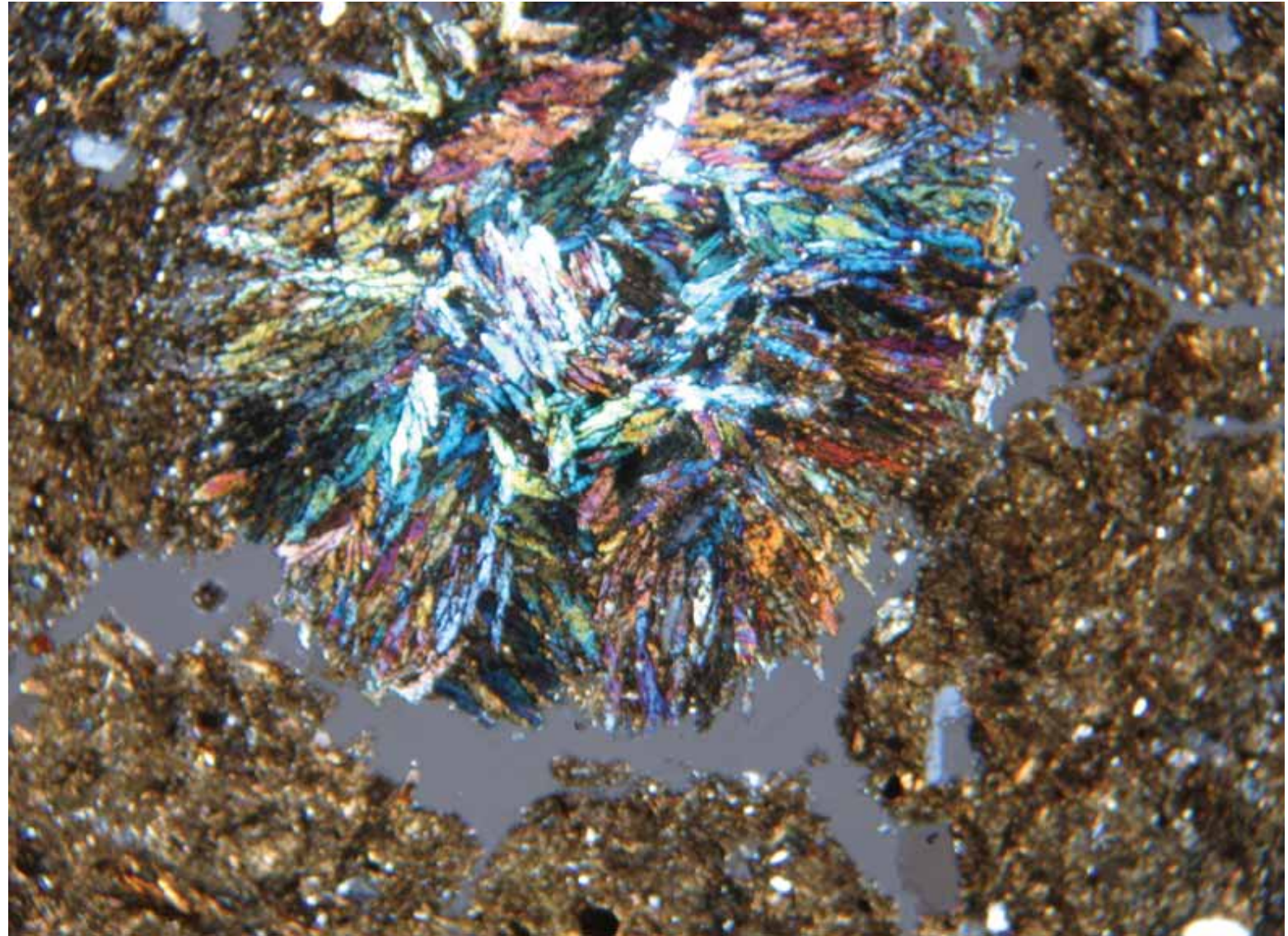
***NEOFORMED MINERALS
(PEDOGENETIC AND/OR
DIAGENETIC)***

N° PL19

Aggregati di cristalli di
vivianite

*Many aggregates of
vivianite*

400 μ m



**MINERALI DI
NEOFORMAZIONE
(PEDOGENETICI E/O
DIAGENETICI)**

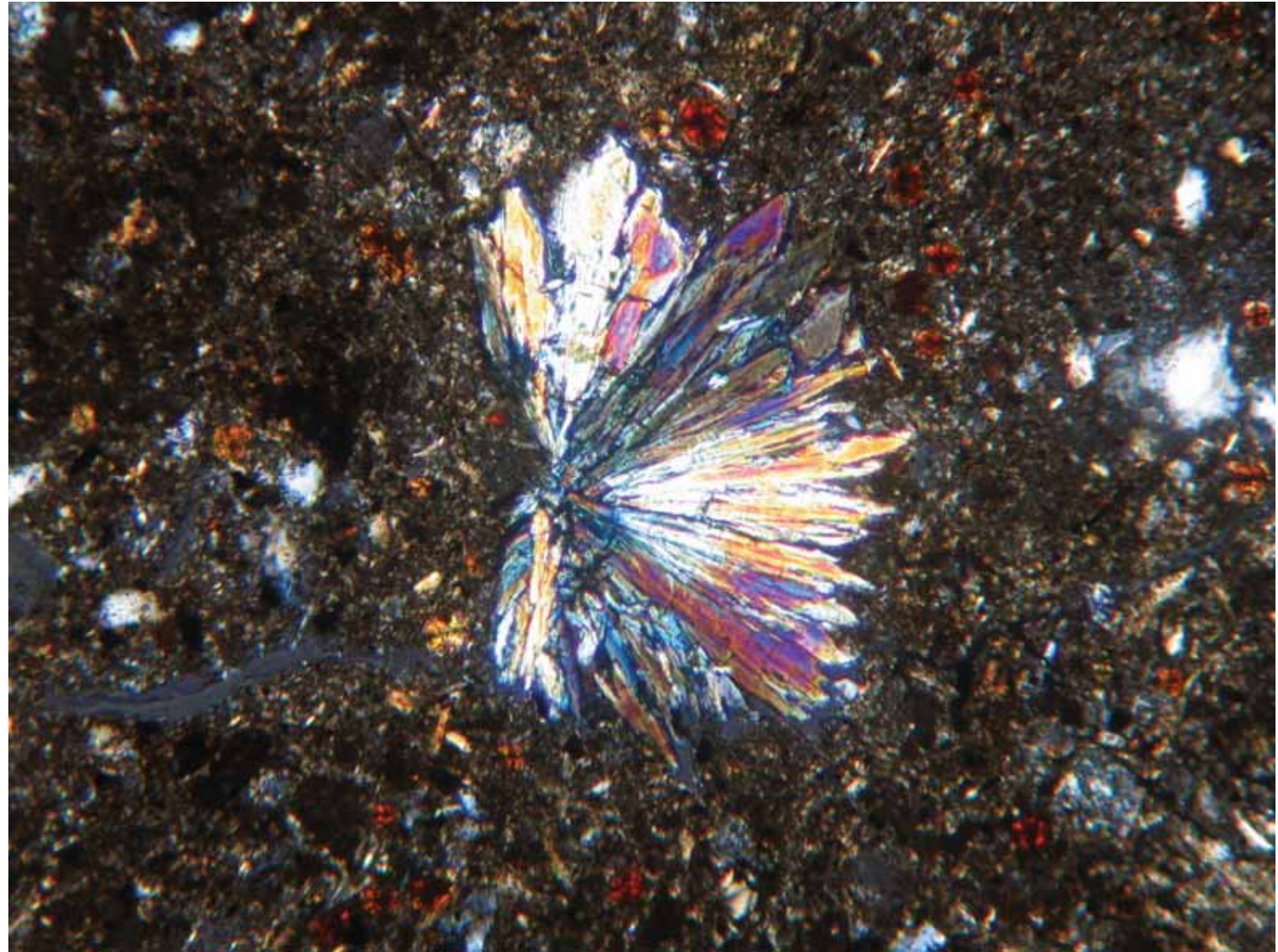
***NEOFORMED MINERALS
(PEDOGENETIC AND/OR
DIAGENETIC)***

N° PL17

Cristalli di vivianite
disposti a raggera

*Radiating aggregate of
vivianite*

200 μ m



**MINERALI DI
NEOFORMAZIONE
(PEDOGENETICI E/O
DIAGENETICI)**

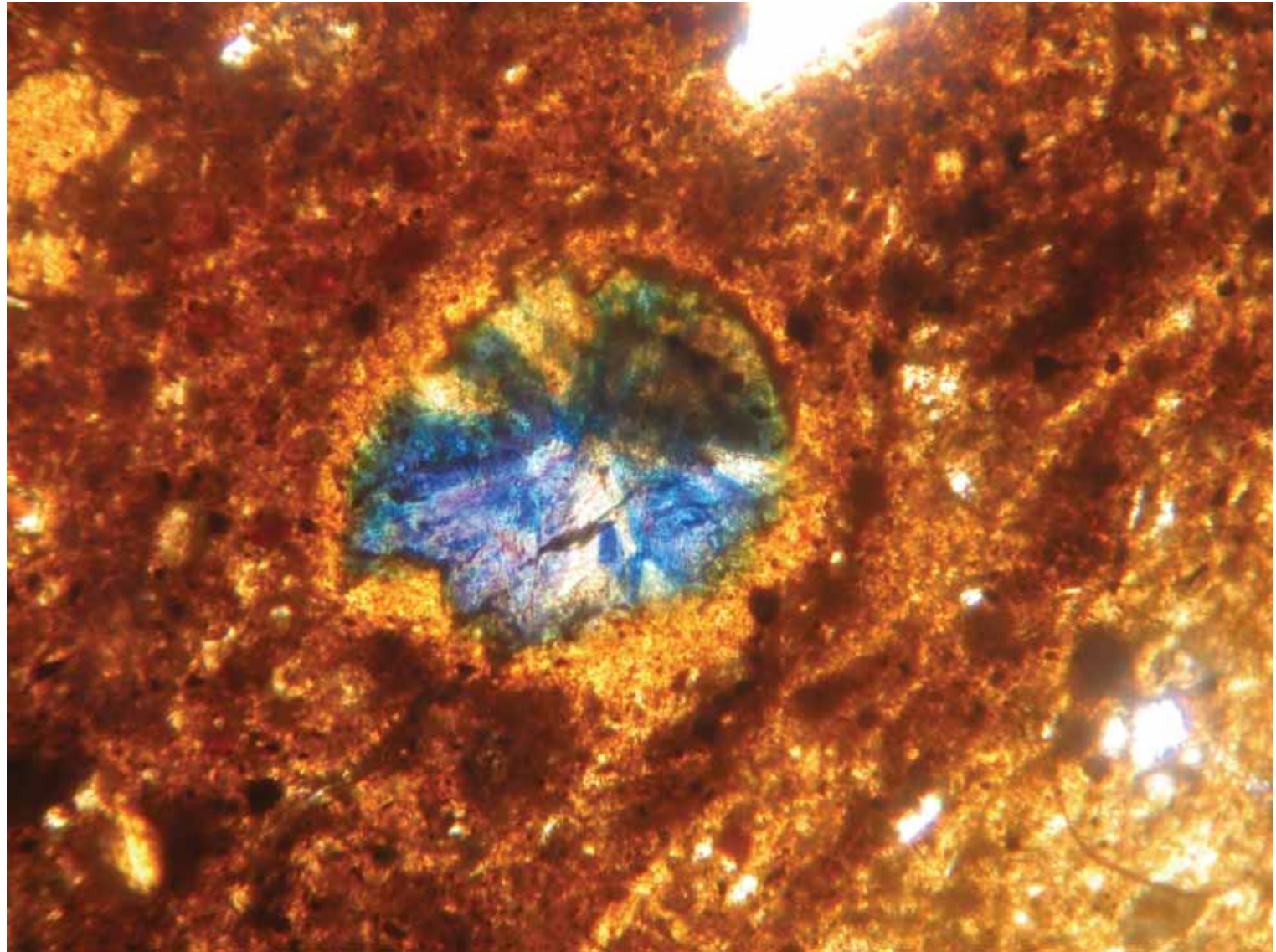
***NEOFORMED MINERALS
(PEDOGENETIC AND/OR
DIAGENETIC)***

N° PL20

Singolo aggregato di
vivianite

*Single aggregate of
vivianite*

400 μ m



**MINERALI DI
NEOFORMAZIONE
(PEDOGENETICI E/O
DIAGENETICI)**

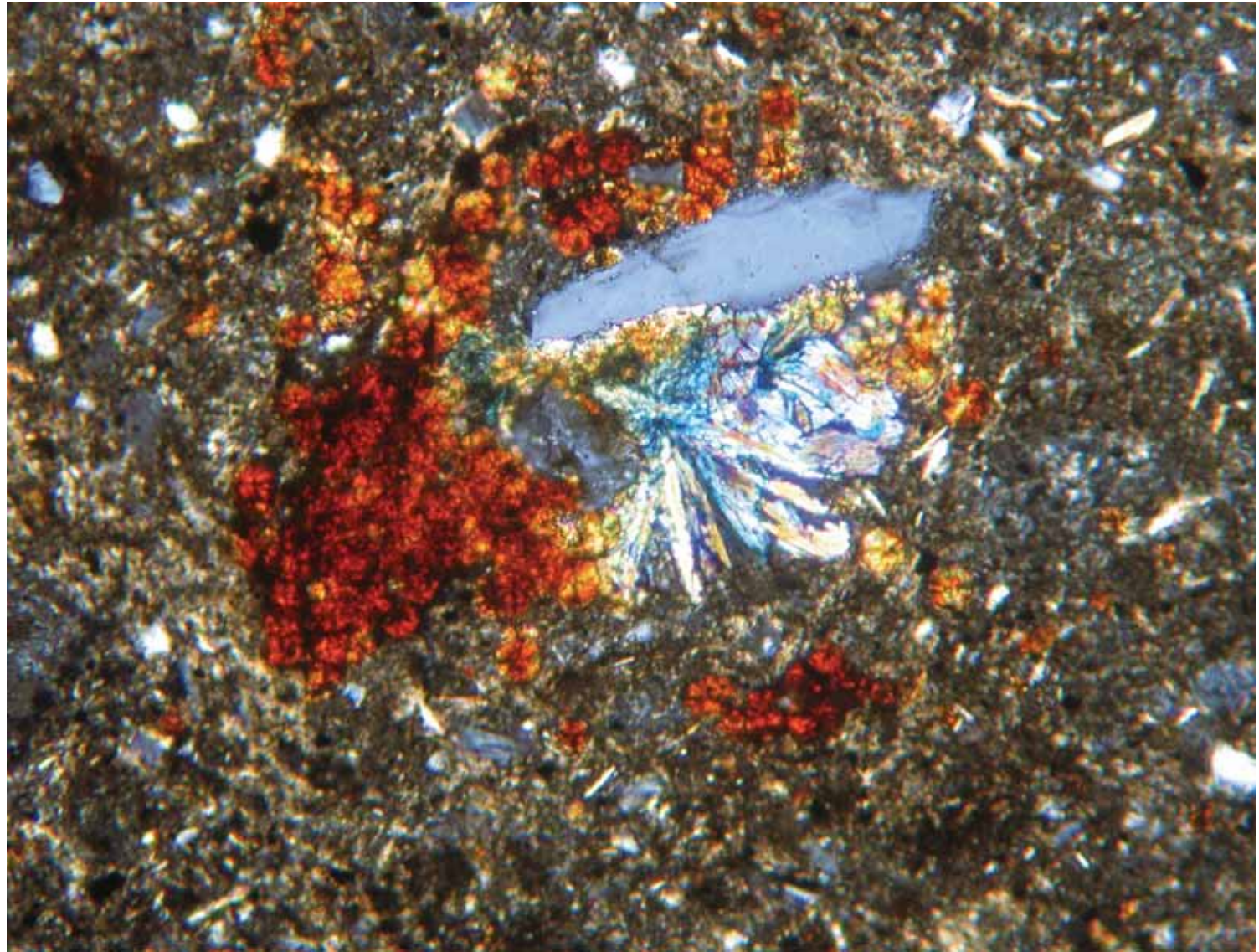
***NEOFORMED MINERALS
(PEDOGENETIC AND/OR
DIAGENETIC)***

N° PL17

Aggregati di vivianite e
siderite

*Aggregates of siderite
and vivianite*

200 μ m



**MINERALI DI
NEOFORMAZIONE
(PEDOGENETICI E/O
DIAGENETICI)**

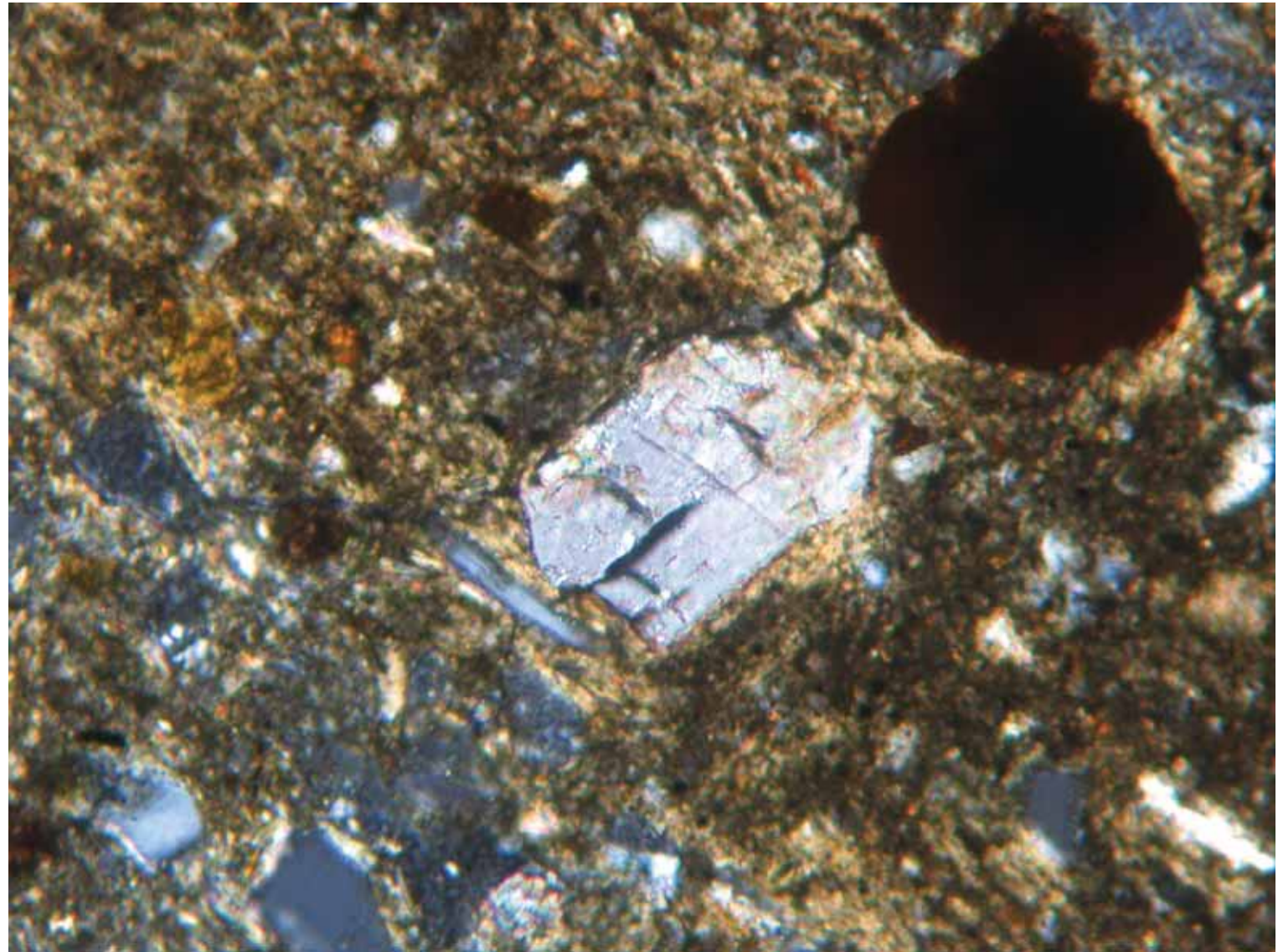
***NEOFORMED MINERALS
(PEDOGENETIC AND/OR
DIAGENETIC)***

N° PL14

Calcite spatica
neogenica

Neoformed spar calcite

200 μ m



**MINERALI DI
NEOFORMAZIONE
(PEDOGENETICI E/O
DIAGENETICI)**

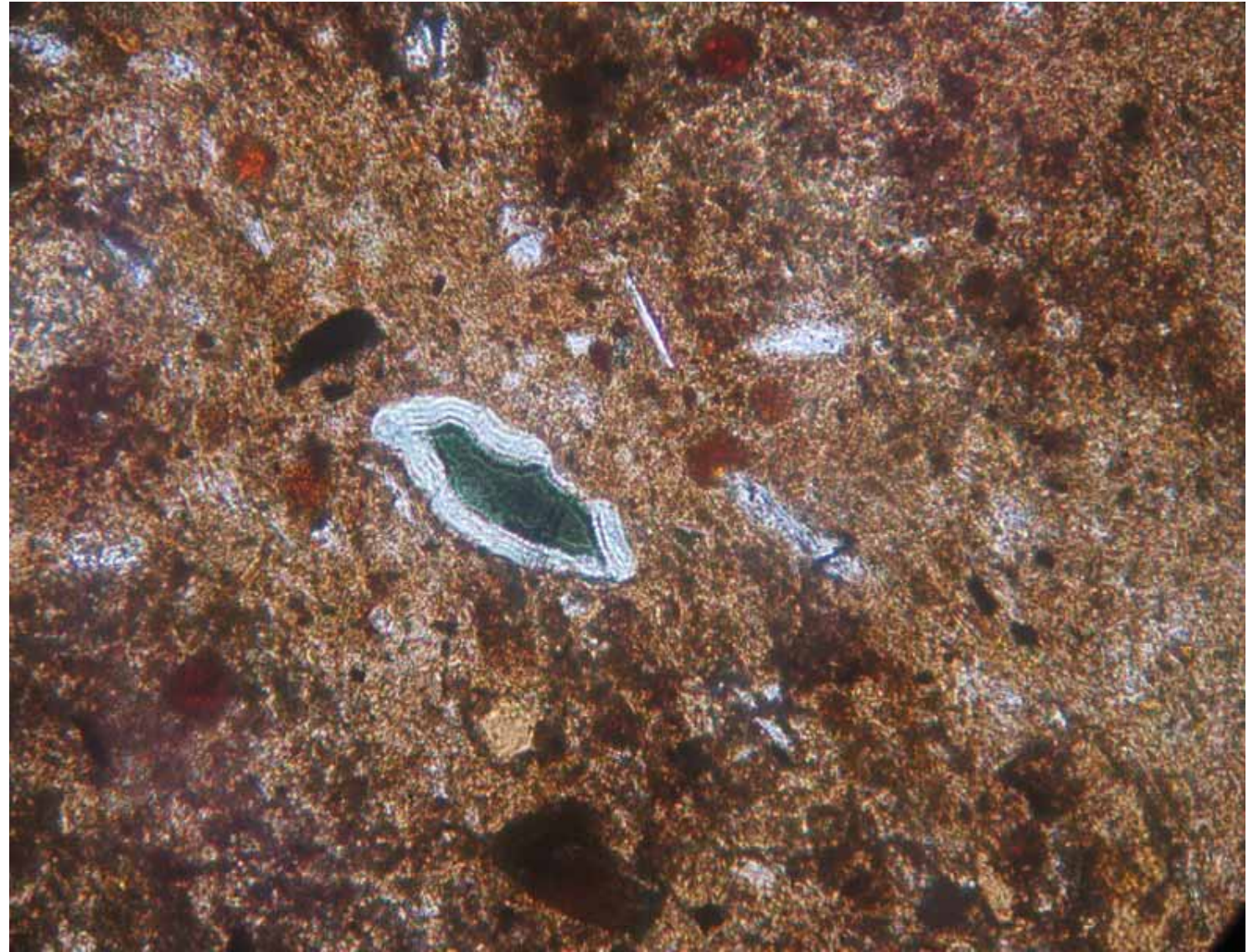
***NEOFORMED MINERALS
(PEDOGENETIC AND/OR
DIAGENETIC)***

N° PL15

Gibbsite intorno a
clorite: Nicols II

*Gibbsite covering
chlorite crystal: Nicols II*

200 μ m



**RESIDUI VEGETALI E
MICROSTRUTTURE
SEDIMENTARIE E
PERIGLACIALI**

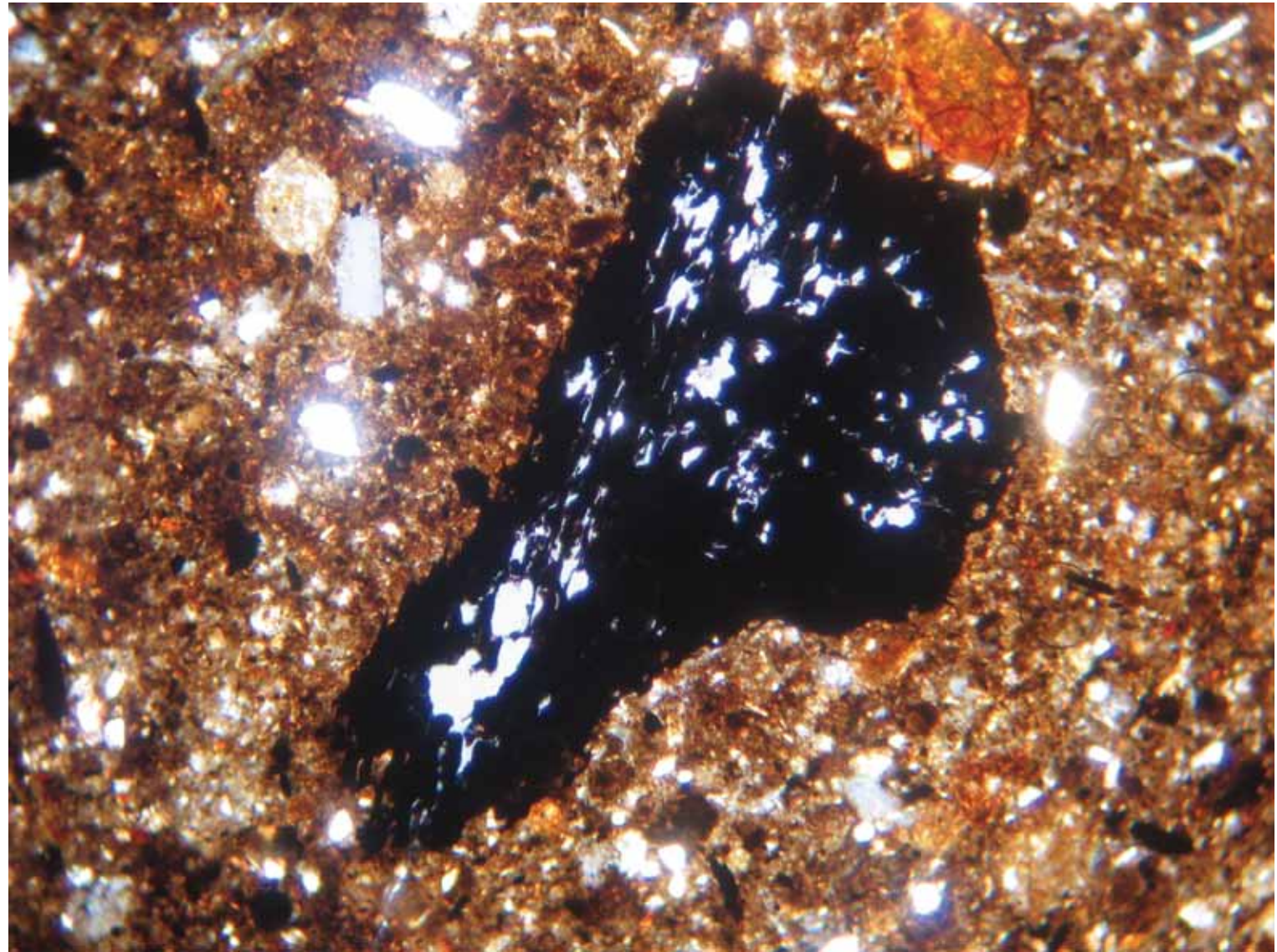
***VEGETAL REMAINS AND
SEDIMENTARY AND
PERIGLACIAL
MICRO STRUCTURES***

N° **PL40**

Frammento di
Carbone/Osso

Charcoal/bone remain

200 μm



**RESIDUI VEGETALI E
MICROSTRUTTURE
SEDIMENTARIE E
PERIGLACIALI**

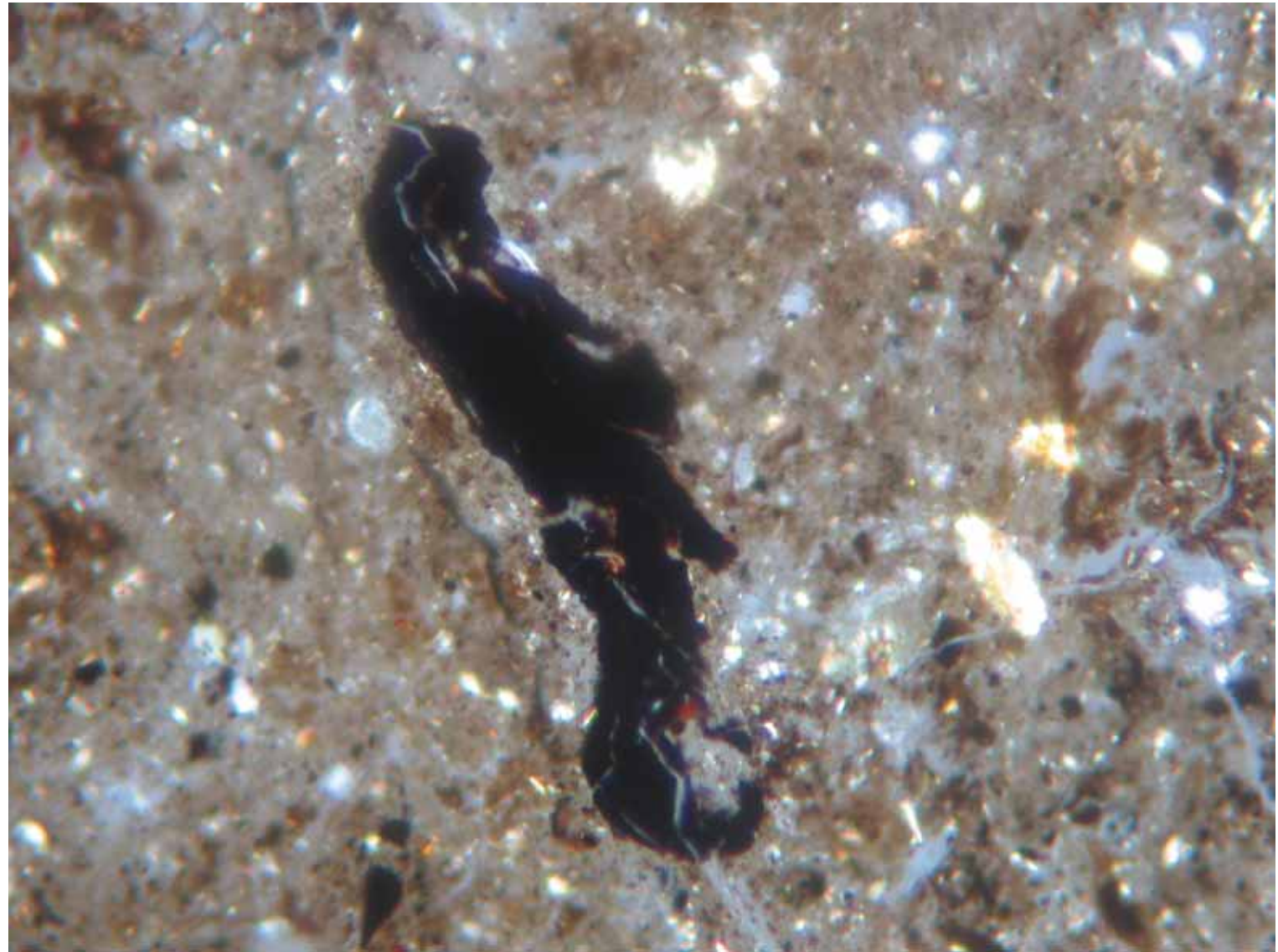
***VEGETAL REMAINS AND
SEDIMENTARY AND
PERIGLACIAL
MICRO STRUCTURES***

N° PL11

Sostanza organica
amorfa

*Amorphous organic fine
material*

200 μ m



**RESIDUI VEGETALI E
MICROSTRUTTURE
SEDIMENTARIE E
PERIGLACIALI**

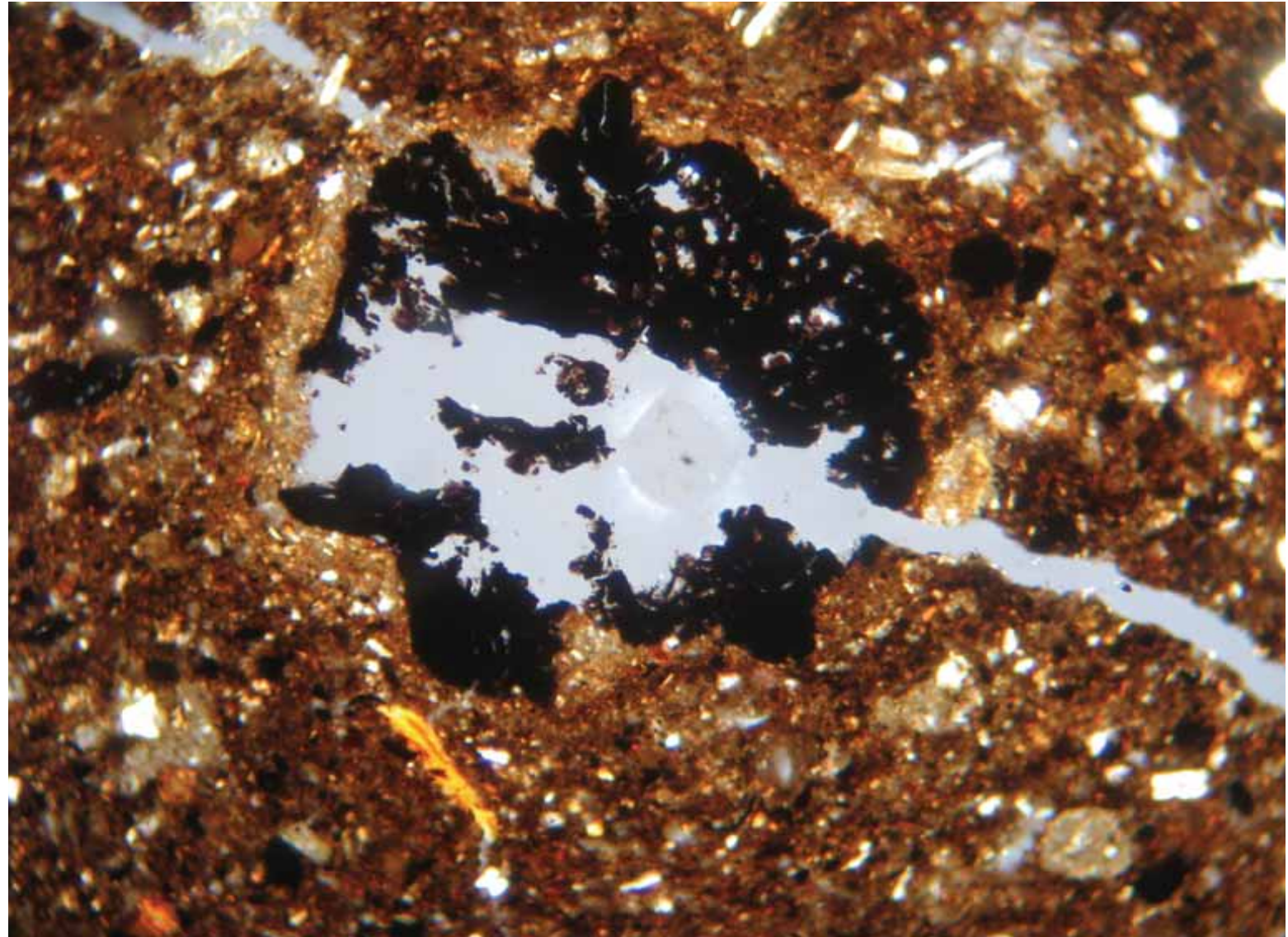
***VEGETAL REMAINS AND
SEDIMENTARY AND
PERIGLACIAL
MICRO STRUCTURES***

N° PL40

Radice carbonizzata

Charcoalified Root

200 μ m



**RESIDUI VEGETALI E
MICROSTRUTTURE
SEDIMENTARIE E
PERIGLACIALI**

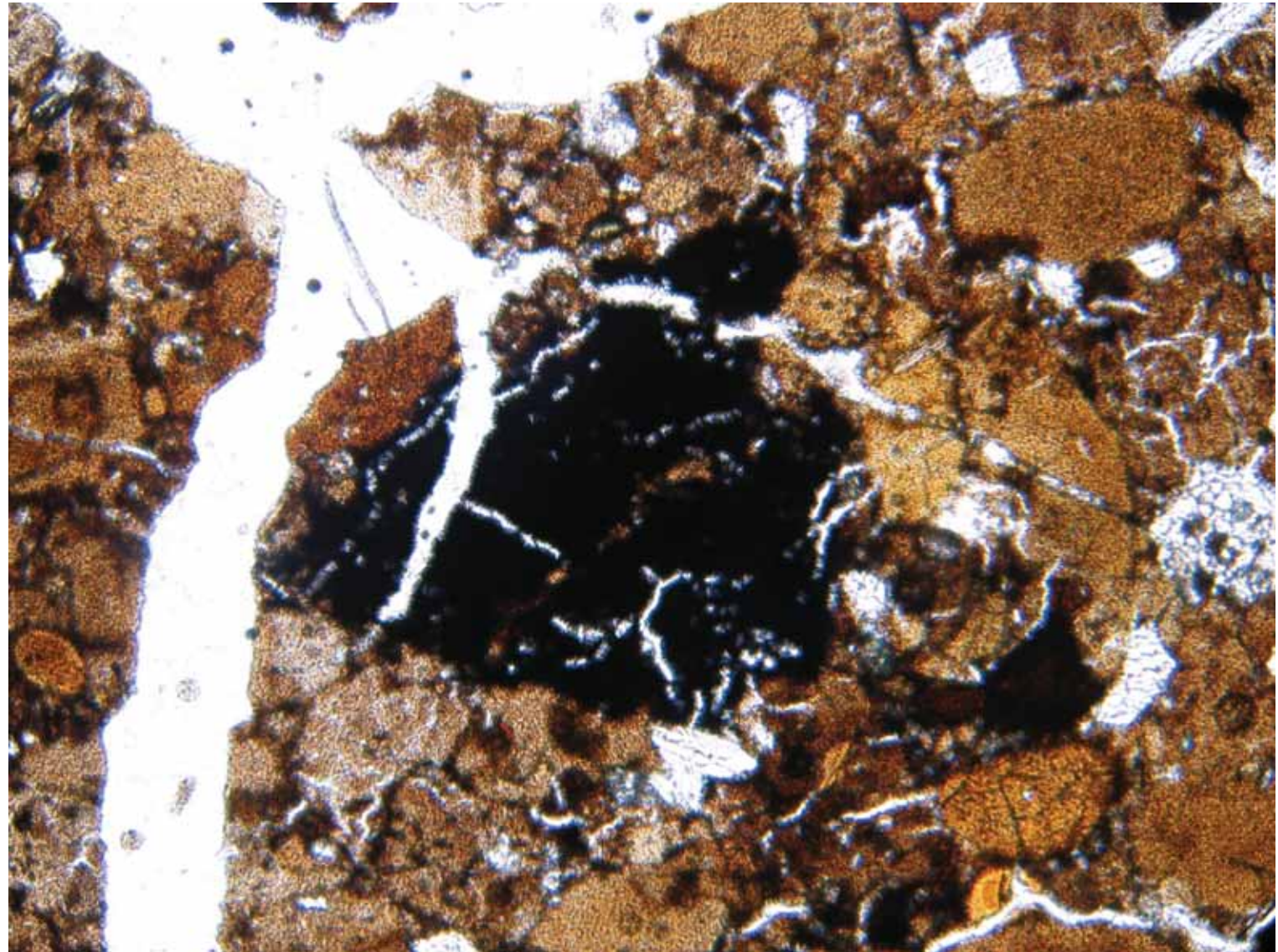
***VEGETAL REMAINS AND
SEDIMENTARY AND
PERIGLACIAL
MICRO STRUCTURES***

N° PL40

**Sostanza organica
amorfa**

***Amorphous organic fine
material***

200 μ m



**RESIDUI VEGETALI E
MICROSTRUTTURE
SEDIMENTARIE E
PERIGLACIALI**

***VEGETAL REMAINS AND
SEDIMENTARY AND
PERIGLACIAL
MICRO STRUCTURES***

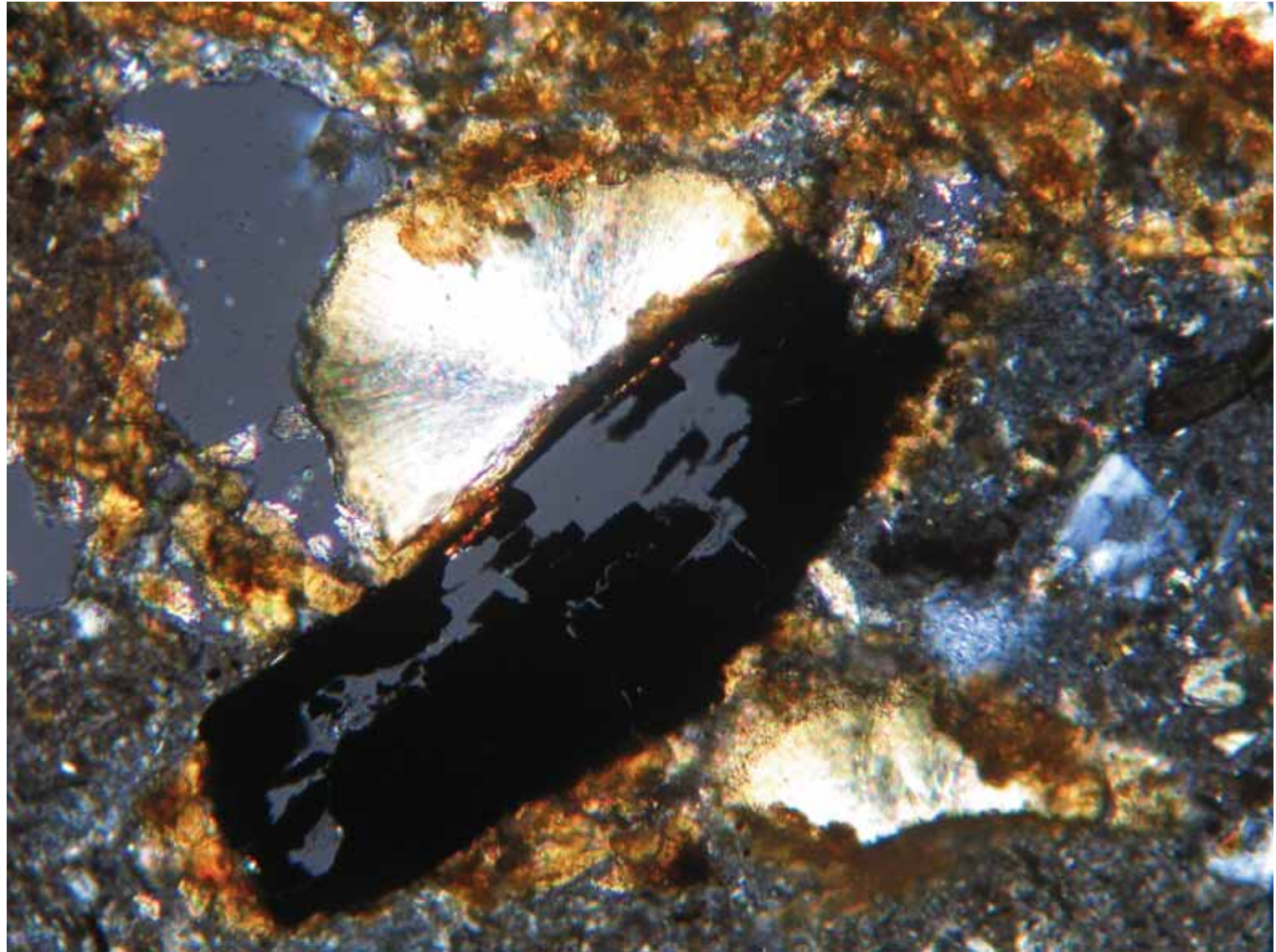
N°

PL85

Frammento di carbone

Charcoal fragment

400 μm



**RESIDUI VEGETALI E
MICROSTRUTTURE
SEDIMENTARIE E
PERIGLACIALI**

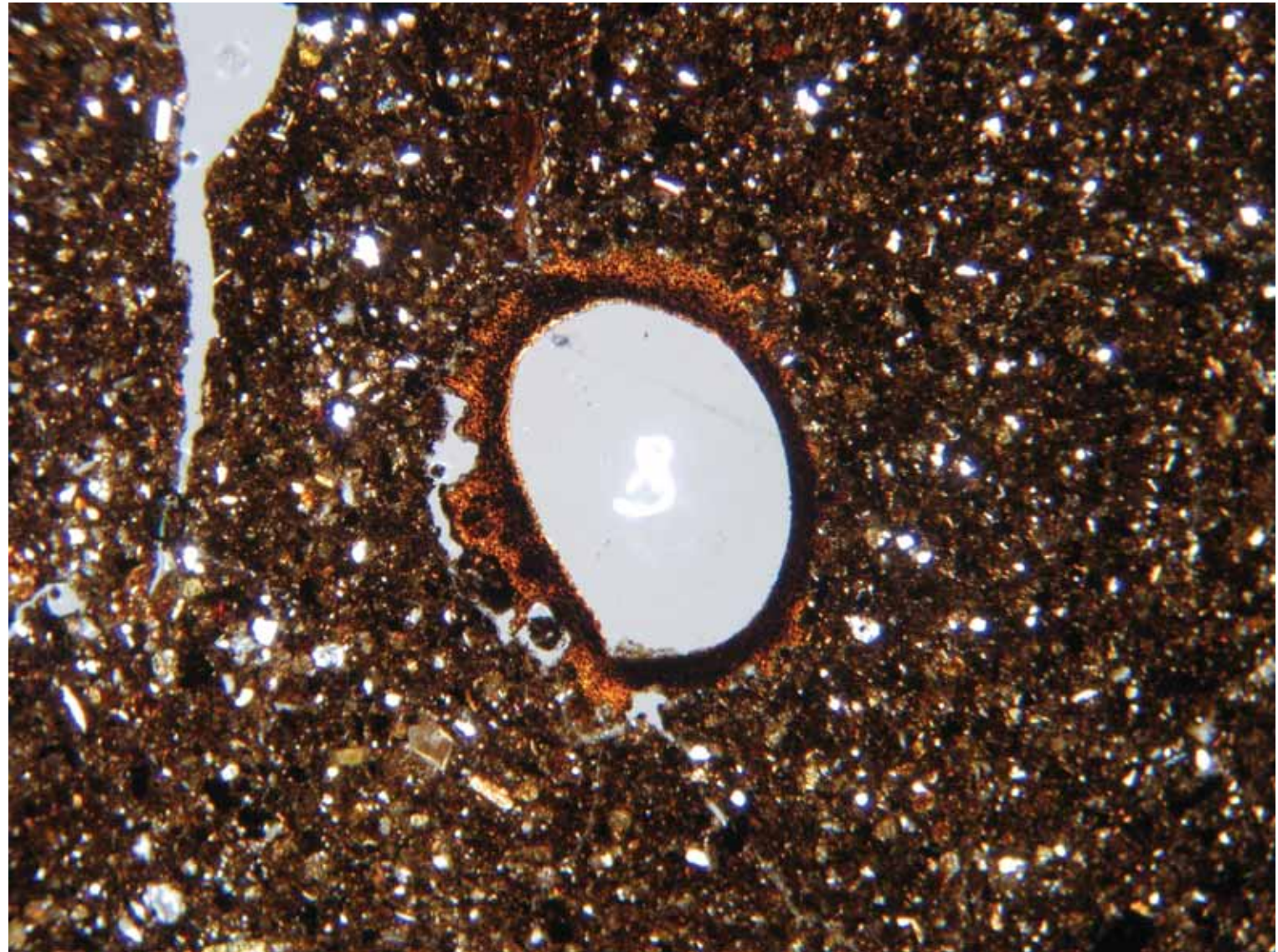
***VEGETAL REMAINS AND
SEDIMENTARY AND
PERIGLACIAL
MICRO STRUCTURES***

N° PL40

Sezione di radice

Root cross section

500 μ m



**RESIDUI VEGETALI E
MICROSTRUTTURE
SEDIMENTARIE E
PERIGLACIALI**

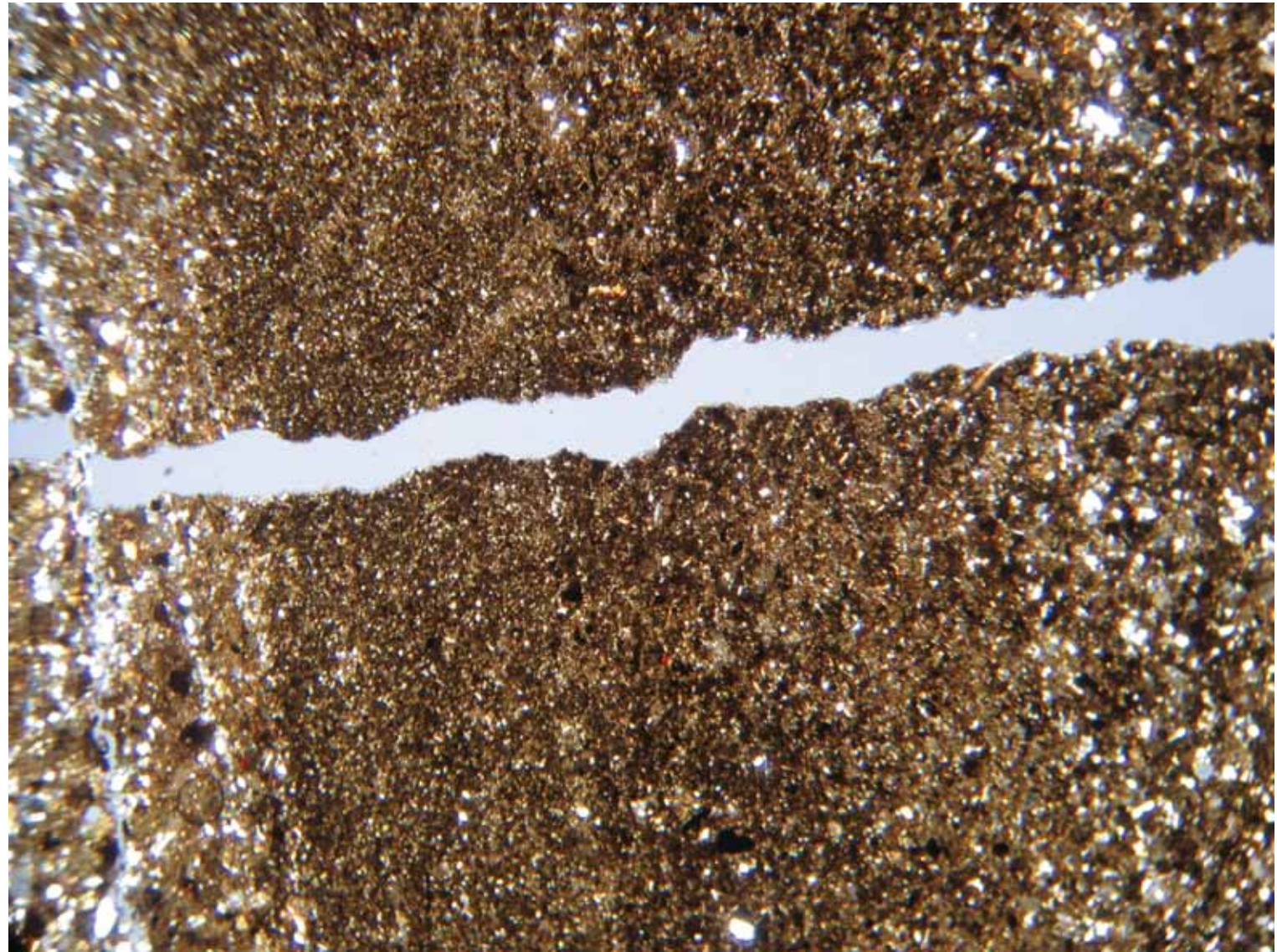
***VEGETAL REMAINS AND
SEDIMENTARY AND
PERIGLACIAL
MICRO STRUCTURES***

N° PL80

Micro-laminazione
sedimentaria
(inclinata): Nicols II

*Sedimentary micro
lamination (routed):
II Nicols*

800 μ m



**RESIDUI VEGETALI E
MICROSTRUTTURE
SEDIMENTARIE E
PERIGLACIALI**

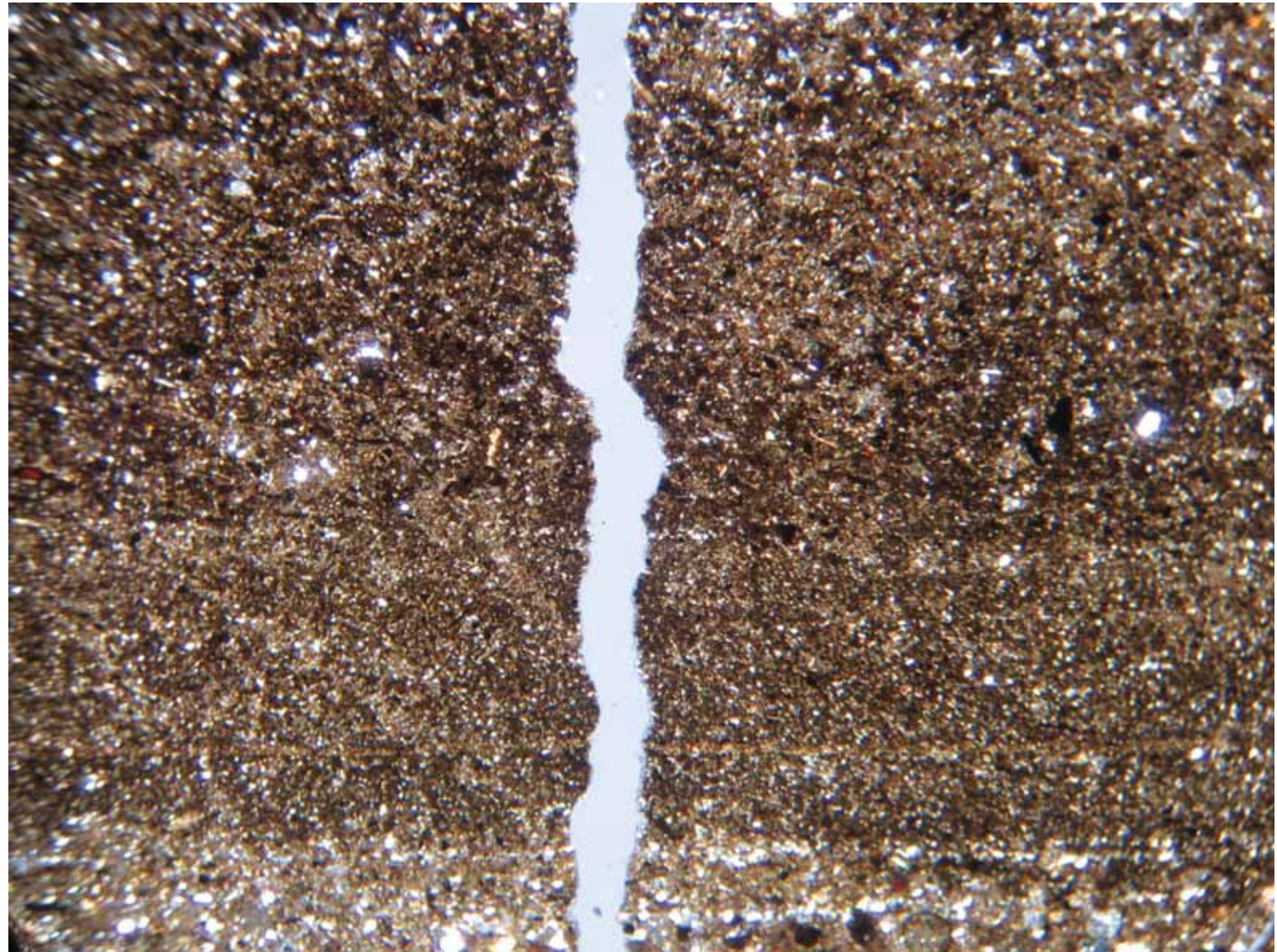
***VEGETAL REMAINS AND
SEDIMENTARY AND
PERIGLACIAL
MICRO STRUCTURES***

N° PL80

**Micro-laminazione
sedimentaria**

***Sedimentary micro
lamination***

500 μ m



**RESIDUI VEGETALI E
MICROSTRUTTURE
SEDIMENTARIE E
PERIGLACIALI**

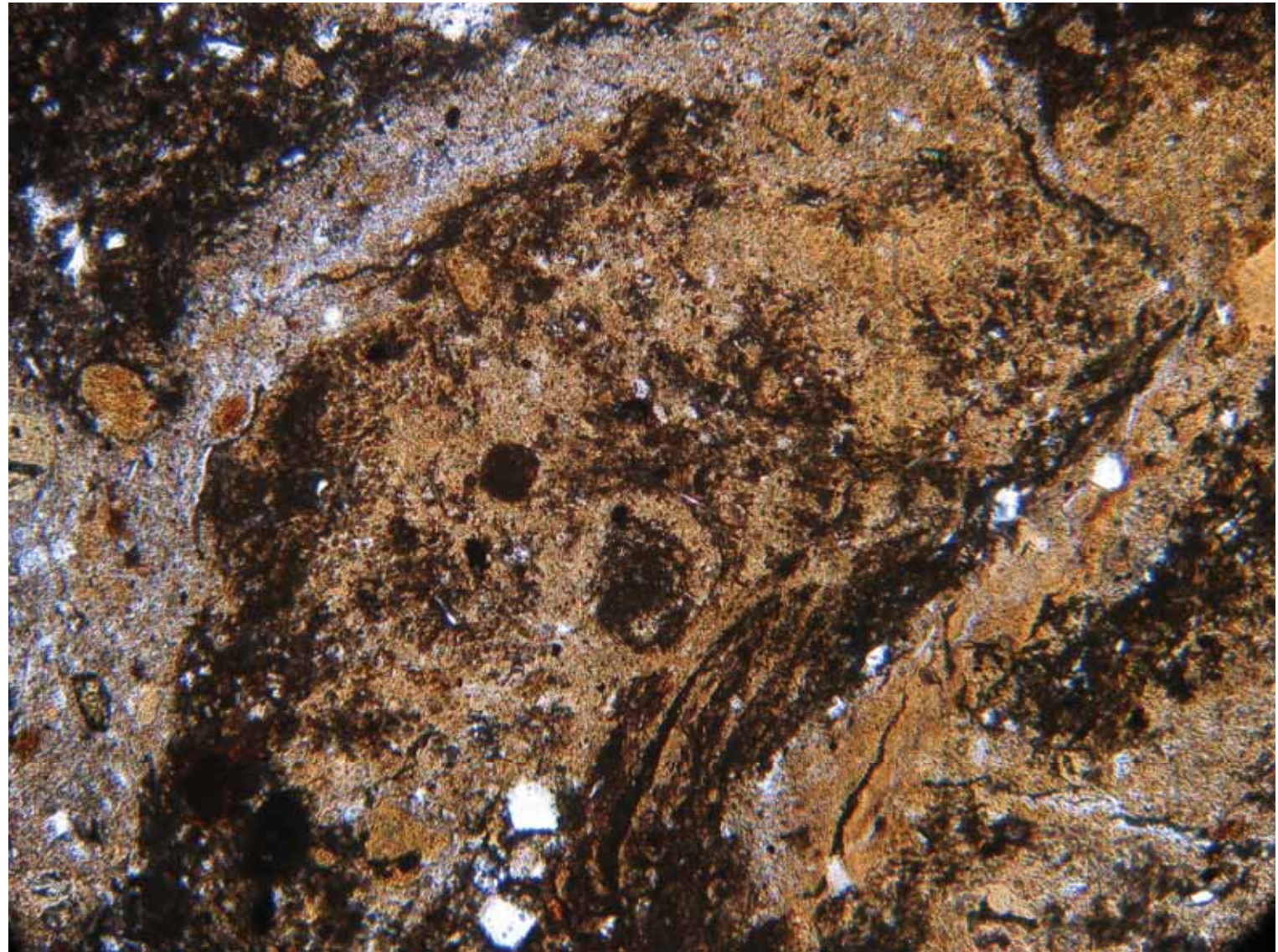
***VEGETAL REMAINS AND
SEDIMENTARY AND
PERIGLACIAL
MICRO STRUCTURES***

N° PL46

Convoluzione
determinata dal
gelo-disgelo: Ns II

*Involution probably
caused by frost action:II
Ns*

400 µm



**RESIDUI VEGETALI E
MICROSTRUTTURE
SEDIMENTARIE E
PERIGLACIALI**

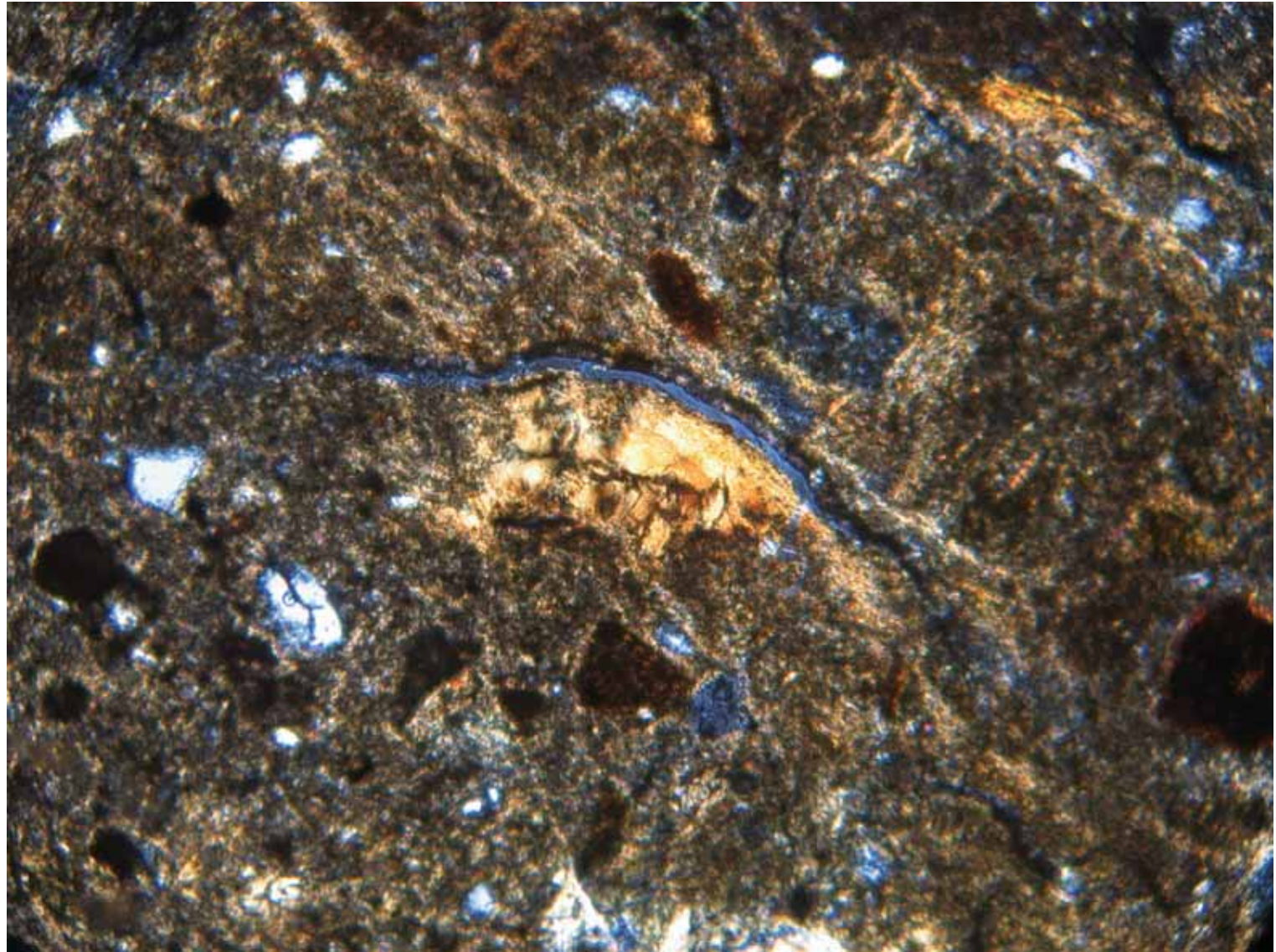
***VEGETAL REMAINS AND
SEDIMENTARY AND
PERIGLACIAL
MICRO STRUCTURES***

N° PL21

Lamine disturbate

Disturbed clay coating

200 μm



**RESIDUI VEGETALI E
MICROSTRUTTURE
SEDIMENTARIE E
PERIGLACIALI**

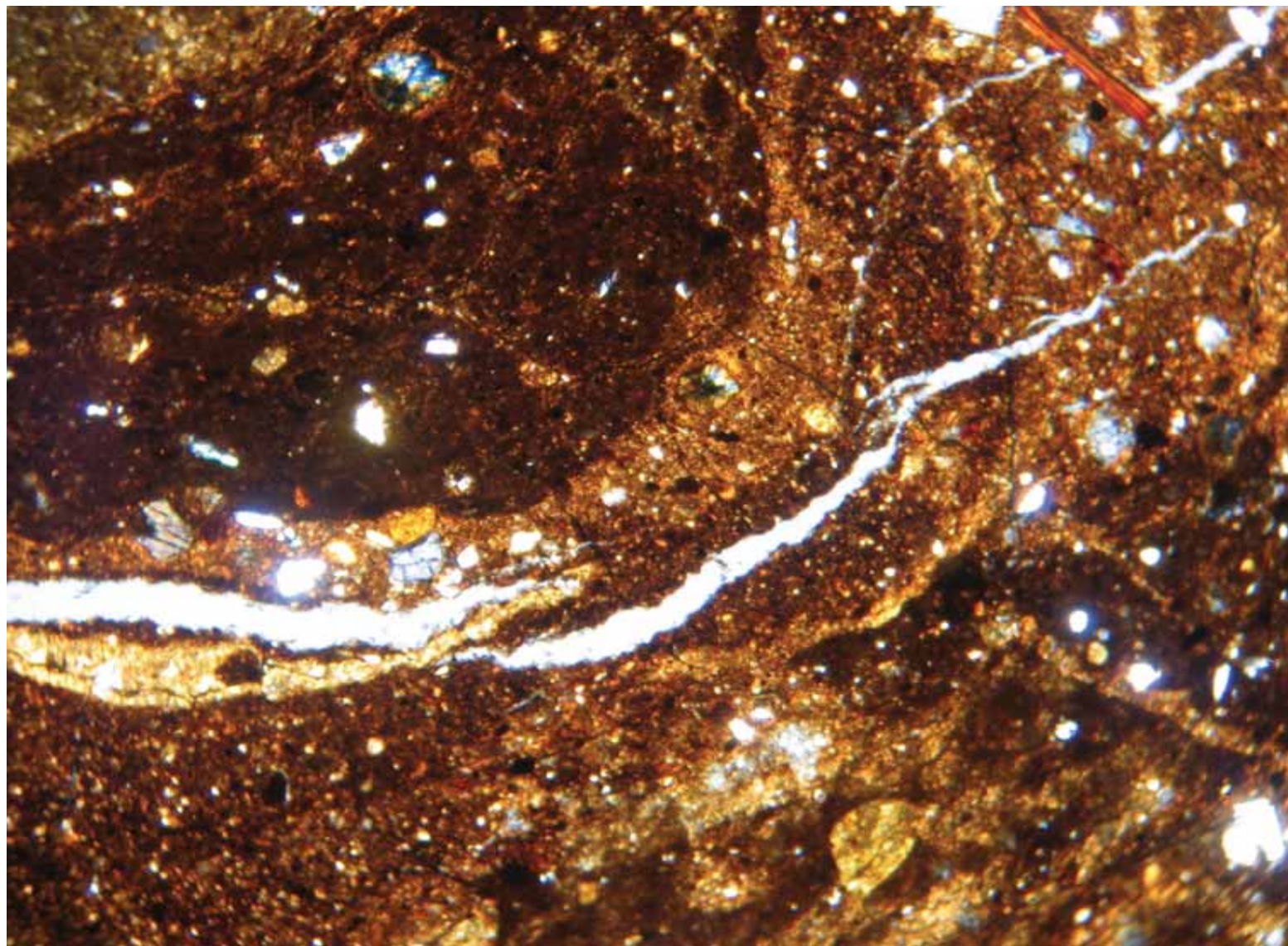
***VEGETAL REMAINS AND
SEDIMENTARY AND
PERIGLACIAL
MICRO STRUCTURES***

N° PL20

Struttura convoluta

Involution

500 μ m



RESIDUI VEGETALI E
MICROSTRUTTURE
SEDIMENTARIE E
PERIGLACIALI

VEGETAL REMAINS AND
SEDIMENTARY AND
PERIGLACIAL
MICRO STRUCTURES

N°

PL3

Diatomea

Limnic diatom

200 μm



**RESIDUI VEGETALI E
MICROSTRUTTURE
SEDIMENTARIE E
PERIGLACIALI**

***VEGETAL REMAINS AND
SEDIMENTARY AND
PERIGLACIAL
MICRO STRUCTURES***

N° PL16

Diatomea

Limnic diatom

200 μ m

